

РАССЕЯНИЕ СВЕТА В ХОЛЕСТЕРИЧЕСКИХ ЖИДКИХ КРИСТАЛЛАХ С БОЛЬШИМ ШАГОМ СПИРАЛИ

Е. В. Аксенова^{a}, А. Ю. Вальков^{b**}, В. П. Романов^{a***}*

*^a Санкт-Петербургский государственный университет
198504, Старый Петергоф, Санкт-Петербург, Россия*

*^b Санкт-Петербургский институт внешнеэкономических связей, экономики и права
191104, Санкт-Петербург, Россия*

Поступила в редакцию 23 июня 2003 г.

Рассмотрены оптические свойства холестерических жидких кристаллов с большим по сравнению с длиной световой волны шагом спирали. Анализируются собственные волны среды и функция Грина электромагнитного поля. Предложена общая схема расчета интенсивности рассеянного света в средах с одномерной периодической структурой, основанная на использовании метода Кирхгофа. Векторным методом ВКБ рассчитана пространственная корреляционная функция тепловых флуктуаций директора. Обнаружено, что существуют области, в которых имеет место трансформация двух флуктуационных мод. Рассчитана угловая и поляризационная зависимости интенсивности рассеянного света на флуктуациях директора. В частности, обнаружено, что интенсивность рассеяния немонотонно зависит от размеров системы.

PACS: 61.30.-v, 05.40.-a, 78.35.+c, 42.70.Df, 42.25.Fx

1. ВВЕДЕНИЕ

В последние годы большое внимание уделяется исследованию жидких кристаллов (ЖК) самыми разнообразными методами. Интерес к этой проблеме обусловлен как целым рядом аномалий в физических свойствах этих систем, так и их широким использованием в устройствах отображения информации и, прежде всего, в жидкокристаллических дисплеях.

Одним из эффективных методов исследования жидкокристаллических систем является метод рассеяния света. Необычные оптические и структурные свойства жидких кристаллов приводят к существенным осложнениям при описании рассеяния света. К таким свойствам можно отнести значительную оптическую анизотропию, наличие регулярных пространственных структур, аномально большие флуктуации параметра порядка, аномально большую оптическую активность и т. д.

При этом возникает целый ряд физических за-

дач, решению которых до сих пор уделялось сравнительно мало внимания. Одной из таких задач является описание рассеяния света в средах с плавно меняющейся периодической структурой. Обычно при рассмотрении рассеяния света предполагается, что среда является пространственно-однородной или описание флуктуаций и распространения волн в неоднородных средах опирается на малые параметры, которые позволяют свести решение задачи к задаче для некоторой эффективной однородной среды. Для однородных систем известны нормальные волны и поле точечного источника (функция Грина электромагнитного поля), а также достаточно просто вычисляется пространственная корреляционная функция тепловых флуктуаций диэлектрической проницаемости, на которых происходит рассеяние света. Условие пространственной однородности системы позволяет, перейдя к пространственному спектру Фурье флуктуаций, получить для интенсивности рассеянного света достаточно простые выражения в замкнутой форме.

Задача усложняется, если пространственная однородность среды существенно нарушается. При этом возникает сразу несколько проблем: описание

*E-mail: aksev@mail.ru

**E-mail: alexvalk@mail.ru

***E-mail: V.Romanov@pobox.spbu.ru

структуры падающего поля (нормальных волн в среде), вычисление функции Грина электромагнитного поля и расчет корреляционной функции флуктуаций диэлектрической проницаемости.

Типичным примером являются задачи о распространении и рассеянии света в средах с периодически меняющимися свойствами и, как наиболее простой случай, в средах с одномерной периодической структурой. К таким средам, в частности, относятся холестерические жидкие кристаллы (ХЖК), закрученные нематические жидкие кристаллы (НЖК) и некоторые виды смектических жидких кристаллов (СЖК).

Хотя этой проблемой занимаются довольно давно, здесь существуют серьезные математические трудности, связанные с тем, что задача сводится к решению системы дифференциальных уравнений с периодическими коэффициентами, не допускающих в общем случае точного решения. Так, точное решение задачи о распространении электромагнитных волн в ХЖК было найдено только для случая распространения волн вдоль оси симметрии системы [1–3]. Формальное аналитическое решение задачи для случая наклонного падения [4–6] имеет вид бесконечного ряда и достаточно сложно для анализа. По этой причине в оптике слоистых жидких кристаллов широко используются различные приближенные методы [7–11]. Основное внимание при этом уделялось случаю, когда длина волны порядка структуры и эффективными оказываются методы, разработанные в теории дифракции рентгеновских лучей [8]. В ХЖК такой подход является основным до настоящего времени [11–15]. Характерным для этого случая является возникновение запрещенных зон. При этом изучались как задачи о нормальных волнах и поле точечного источника [16–19], так и спектр тепловых колебаний директора [20–23].

Противоположному случаю, когда длина волны много меньше характерного размера структуры ЖК, заметного внимания не уделялось. Однако в последние годы в связи с использованием в системах отображения информации твист-ячеек слабо закрученных НЖК и ХЖК с большим шагом спирали этот вопрос становится актуальным.

Для таких систем известно, что при распространении света вдоль оси спирали имеет место адиабатический режим, когда поляризация волн испытывает поворот вместе с поворотом оптической оси [24]. При больших интенсивностях падающего света наблюдались нелинейные эффекты, в частности, генерация третьей гармоники [25]. В общем случае наклонного падения здесь представляется естествен-

ным использовать метод ВКБ, поскольку размер неоднородностей значительно больше длины волны. Непосредственное применение метода ВКБ для электромагнитных волн затруднено тем, что здесь возникает система связанных уравнений [4, 5, 26]. Для задачи о распространении электромагнитных волн в локально изотропных средах с плавными неоднородностями эта проблема была решена в [27, 28]. В ХЖК с большим шагом спирали обобщение метода ВКБ, предложенное в [29], позволило получить аналитическое решение задачи о наклонном падении света (и, в частности, были найдены нормальные волны). На основе этого метода в [30–32] было получено также поле точечного источника в такой среде.

Для описания рассеяния света, кроме оптических характеристик системы, необходимо знать также корреляционную функцию тепловых флуктуаций диэлектрической проницаемости. В ХЖК основной вклад в рассеяние вносят флуктуации директора. Задача о спектре тепловых шумов директора в ХЖК рассматривалась только для флуктуаций с характерными масштабами порядка или больше, чем период структуры («смектикоподобный» ХЖК) [20–23]. Флуктуации в противоположном случае «нематикоподобного» ХЖК не изучались. Отметим, что для некоторых физических систем с плавными периодическими неоднородностями исследование флуктуаций проводилось — например, при изучении влияния гравитационного эффекта в окрестности критической точки жидкость–пар на флуктуации плотности [33]. Однако в этом случае радиус корреляции флуктуаций много меньше характерного размера регулярных неоднородностей системы. Тогда задачу можно свести к задаче о локально однородной среде, параметры которой плавно меняются от точки к точке. Особенность нашей системы состоит в том, что здесь корреляционная длина интересующих нас флуктуаций директора ограничена только размерами системы [34]. Поэтому приближение локальной однородности здесь неприменимо.

В настоящей работе с помощью векторного обобщения метода ВКБ рассчитана корреляционная функция флуктуаций директора в ХЖК с большим шагом спирали. Предложена общая схема расчета интенсивности рассеяния света для слоистых систем. Это позволило получить явные выражения для угловой и поляризационной зависимостей интенсивности однократного рассеяния света в ХЖК для случая, когда шаг спирали значительно больше длины световой волны. Результаты приведены в удобном для сравнения с экспериментом виде.

Работа построена следующим образом. В разд. 2 приводятся общие уравнения, описывающие упругую энергию и флуктуации, а также распространение электромагнитных волн в ХЖК. В разд. 3 на основе метода Кирхгофа построена общая схема расчета интенсивности рассеянного света в слоистых средах. Раздел 4 посвящен нахождению нормальных волн и функции Грина электромагнитного поля в ХЖК с большим по сравнению с длиной волны света шагом спирали. В разд. 5 рассчитана корреляционная функция флуктуаций директора в ХЖК. В разд. 6 рассчитана интенсивность рассеянного света и проанализированы различные геометрии эксперимента. В Приложении приводится использованная нами для нахождения собственных волн и корреляционной функции в ХЖК схема векторного метода ВКБ.

2. ОСНОВНЫЕ УРАВНЕНИЯ

Холестерический жидкий кристалл описывается свободной энергией вида [34]

$$F = F_0 + \frac{1}{2} \int d\mathbf{r} [K_{11}(\text{div } \mathbf{n})^2 + K_{22}(\mathbf{n} \text{ rot } \mathbf{n} + p_0)^2 + K_{33}(\mathbf{n} \times \text{rot } \mathbf{n})^2], \quad (2.1)$$

где F_0 — энергия однородной системы, K_{ll} ($l = 1, 2, 3$) — модули Франка. Единичный вектор директора $\mathbf{n} = \mathbf{n}(\mathbf{r})$ характеризует направление локальной преимущественной ориентации длинных осей молекул. Минимуму энергии (2.1) отвечает геликоидальное равновесное распределение директора

$$\mathbf{n}^0(\mathbf{r}) \equiv \mathbf{n}^0(z) = (\cos \phi, \sin \phi, 0). \quad (2.2)$$

Здесь введена декартова система координат с осью z , совпадающей с осью спирали ХЖК, $\phi = \phi(z) = p_0 z + \phi_0$, угол ϕ_0 определяет направление директора на плоскости $z = 0$, $p_0 = \pi/d$, d — шаг холестерической спирали. Вектор директора $\mathbf{n}^0(\mathbf{r})$ в (2.2) перпендикулярен оси z и равномерно вращается вокруг этой оси.

Оптические свойства холестерика определяются тензором диэлектрической проницаемости $\hat{\epsilon}$, который в равновесном ХЖК имеет вид [34]

$$\epsilon_{\alpha\beta}^0(\mathbf{r}) \equiv \epsilon_{\alpha\beta}^0(z) = \epsilon_{\perp} \delta_{\alpha\beta} + \epsilon_a n_{\alpha}^0(z) n_{\beta}^0(z), \quad (2.3)$$

где $\epsilon_a = \epsilon_{\parallel} - \epsilon_{\perp}$, а ϵ_{\parallel} , ϵ_{\perp} — диэлектрические проницаемости соответственно вдоль и поперек \mathbf{n}^0 .

Уравнения Максвелла для монохроматической волны в такой среде имеют вид

$$\begin{aligned} \text{rot } \mathbf{E}(\mathbf{r}) &= ik_0 \hat{\mu}(\mathbf{r}) \mathbf{H}(\mathbf{r}), \\ \text{rot } \mathbf{H}(\mathbf{r}) &= -ik_0 \hat{\epsilon}(\mathbf{r}) \mathbf{E}(\mathbf{r}), \end{aligned} \quad (2.4)$$

где \mathbf{E} и \mathbf{H} — векторы напряженности электрического и магнитного полей, $k_0 = \omega/c$, ω — круговая частота, c — скорость света в вакууме. В дальнейшем будем полагать среду немагнитной, $\mu_{\alpha\beta}(\mathbf{r}) = \delta_{\alpha\beta}$. Исключая из системы (2.4) вектор \mathbf{H} , получаем волновое уравнение для вектора \mathbf{E} :

$$(\text{rot rot} - k_0^2 \hat{\epsilon}(\mathbf{r})) \mathbf{E}(\mathbf{r}) = 0. \quad (2.5)$$

При решении задачи рассеяния удобно использовать интегральное представление для волнового уравнения (2.5):

$$\mathbf{E}(\mathbf{r}) = \mathbf{E}^0(\mathbf{r}) + k_0^2 \int d\mathbf{r}' \hat{T}^0(\mathbf{r}, \mathbf{r}') \delta \hat{\epsilon}(\mathbf{r}') \mathbf{E}(\mathbf{r}'), \quad (2.6)$$

где $\delta \hat{\epsilon}(\mathbf{r}) = \hat{\epsilon}(\mathbf{r}) - \hat{\epsilon}^0(\mathbf{r})$ — флуктуации тензора диэлектрической проницаемости, а поле $\mathbf{E}^0(\mathbf{r})$ и функция Грина электромагнитного поля $\hat{T}^0(\mathbf{r}, \mathbf{r}')$, удовлетворяют уравнениям

$$(\text{rot rot} - k_0^2 \hat{\epsilon}^0(z)) \mathbf{E}^0(\mathbf{r}) = 0, \quad (2.7)$$

$$(\text{rot rot} - k_0^2 \hat{\epsilon}^0(z)) \hat{T}^0(\mathbf{r}, \mathbf{r}') = \delta(\mathbf{r} - \mathbf{r}') \hat{I}. \quad (2.8)$$

Здесь \hat{I} — единичная матрица.

Поскольку уравнение (2.7) является однородным, поле $\mathbf{E}^0(\mathbf{r})$ может быть выражено в виде линейной комбинации собственных (нормальных) волн задачи (2.7). Для однозначной постановки задачи уравнение (2.8) следует дополнить соответствующими граничными условиями. В неограниченной среде такими условиями являются условия излучения [35]. В силу симметрии ХЖК относительно сдвигов в плоскости XY имеем $\hat{T}^0(\mathbf{r}, \mathbf{r}') \equiv \hat{T}^0(\mathbf{r}_{\perp} - \mathbf{r}'_{\perp}; z, z')$, где $\mathbf{r}_{\perp} = (x, y)$.

Второй член в правой части уравнения (2.6) соответствует рассеянному полю $\mathbf{E}^{(s)}$, порожденному падающим полем $\mathbf{E}^0(\mathbf{r})$. Решая это уравнение итерациями и ограничиваясь нижним порядком по $\delta \hat{\epsilon}$, получим рассеянное поле $\mathbf{E}^{(s)}$ в приближении однократного рассеяния

$$\begin{aligned} \mathbf{E}^{(s)}(\mathbf{r}) &= \\ &= k_0^2 \int d\mathbf{r}' \hat{T}^0(\mathbf{r}_{\perp} - \mathbf{r}'_{\perp}; z, z') \delta \hat{\epsilon}(\mathbf{r}') \mathbf{E}^0(\mathbf{r}'). \end{aligned} \quad (2.9)$$

Свойства рассеянного света определяются функцией когерентности

$$\begin{aligned} \langle E_\alpha^{(s)}(\mathbf{r}_1) E_\beta^{(s)*}(\mathbf{r}_2) \rangle = & \\ = k_0^4 \int d\mathbf{r}'_1 d\mathbf{r}'_2 T_{\alpha\gamma}^0(\mathbf{r}_{1\perp} - \mathbf{r}'_{1\perp}; z_1, z'_1) \times & \\ \times T_{\beta\zeta}^{0*}(\mathbf{r}_{2\perp} - \mathbf{r}'_{2\perp}; z_2, z'_2) \mathcal{G}_{\gamma\nu\zeta\mu}(\mathbf{r}'_1, \mathbf{r}'_2) \times & \\ \times E_\nu^0(\mathbf{r}'_1) E_\mu^{0*}(\mathbf{r}'_2), & \quad (2.10) \end{aligned}$$

где $\mathcal{G}_{\gamma\nu\zeta\mu}(\mathbf{r}'_1, \mathbf{r}'_2) = \langle \delta\varepsilon_{\gamma\nu}(\mathbf{r}'_1) \delta\varepsilon_{\zeta\mu}^*(\mathbf{r}'_2) \rangle$ — корреляционная функция флуктуаций диэлектрической проницаемости, скобки $\langle \dots \rangle$ обозначают статистическое усреднение, а звездочка — комплексное сопряжение. В силу симметрии ХЖК имеем $\widehat{\mathcal{G}}(\mathbf{r}'_1, \mathbf{r}'_2) \equiv \widehat{\mathcal{G}}(\mathbf{r}'_{1\perp} - \mathbf{r}'_{2\perp}; z'_1, z'_2)$.

Таким образом, для вычисления функции когерентности (2.10) нам необходимо знать нормальные волны, определяющие вид поля $\mathbf{E}^0(\mathbf{r})$, функцию Грина \widehat{T}^0 и корреляционную функцию флуктуаций диэлектрической проницаемости $\widehat{\mathcal{G}}$ в нашей системе.

Наиболее сильный вклад в $\delta\widehat{\varepsilon}$ вносят в ЖК флуктуации директора [34]

$$\mathbf{n}(\mathbf{r}) = \mathbf{n}^0(z) + \delta\mathbf{n}(\mathbf{r}), \quad (2.11)$$

и в данной работе ограничимся рассмотрением только этих флуктуаций. В этом предположении не только равновесный, но и флуктуирующий тензор диэлектрической проницаемости имеет вид аналогичный (2.3), с заменой $\mathbf{n}^0(z) \rightarrow \mathbf{n}(\mathbf{r})$:

$$\varepsilon_{\alpha\beta}(\mathbf{r}) \equiv \varepsilon_\perp \delta_{\alpha\beta} + \varepsilon_a n_\alpha(\mathbf{r}) n_\beta(\mathbf{r}). \quad (2.12)$$

Вычитая (2.3) из (2.12), находим в главном порядке связь между флуктуациями диэлектрической проницаемости и директора в ХЖК:

$$\delta\varepsilon_{\alpha\beta}(\mathbf{r}) = \varepsilon_a (n_\alpha^0(z) \delta n_\beta(\mathbf{r}) + \delta n_\alpha(\mathbf{r}) n_\beta^0(z)), \quad (2.13)$$

и связь между соответствующими корреляционными функциями

$$\begin{aligned} \mathcal{G}_{\alpha\beta\gamma\delta}(\mathbf{r}_\perp; z, z') = \varepsilon_a^2 [n_\alpha^0(z) n_\gamma^0(z') g_{\beta\delta}(\mathbf{r}_\perp; z, z') + & \\ + n_\alpha^0(z) n_\delta^0(z') g_{\beta\gamma}(\mathbf{r}_\perp; z, z') + & \\ + n_\beta^0(z) n_\gamma^0(z') g_{\alpha\delta}(\mathbf{r}_\perp; z, z') + & \\ + n_\beta^0(z) n_\delta^0(z') g_{\alpha\gamma}(\mathbf{r}_\perp; z, z')] . & \quad (2.14) \end{aligned}$$

Здесь

$$\begin{aligned} g_{\alpha\beta}(\mathbf{r}_{1\perp} - \mathbf{r}_{2\perp}; z_1, z_2) = & \\ = \langle \delta n_\alpha(\mathbf{r}_{1\perp}, z_1) \delta n_\beta(\mathbf{r}_{2\perp}, z_2) \rangle & \quad (2.15) \end{aligned}$$

— корреляционная функция флуктуаций директора.

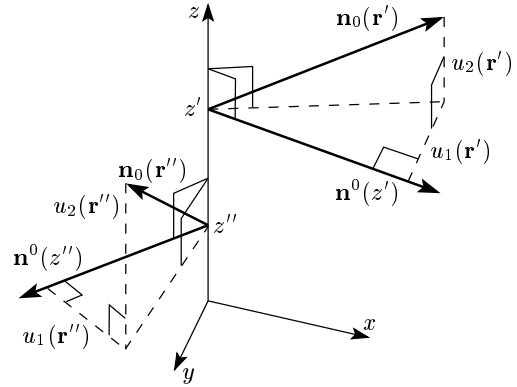


Рис. 1. Моды $u_{1,2}$ флуктуаций директора в холестерическом жидком кристалле

Для вычисления корреляционной функции флуктуаций директора в гауссовом приближении можно ограничиться квадратичным по $\delta\mathbf{n}$ вкладом в свободную энергию (2.1):

$$\begin{aligned} \delta F = \frac{1}{2} \int d\mathbf{r} \{ K_{11} (\nabla \cdot \delta\mathbf{n})^2 + K_{22} [\mathbf{n}^0 \cdot (\nabla \times \delta\mathbf{n})]^2 + & \\ + K_{33} [(\delta\mathbf{n} \cdot \nabla) \mathbf{n}^0 + (\mathbf{n}^0 \cdot \nabla) \delta\mathbf{n}]^2 \} . & \quad (2.16) \end{aligned}$$

При получении этого уравнения мы учли, что для геликоидальной структуры (2.2) справедливы соотношения $\text{div } \mathbf{n}^0 = 0$ и $\text{rot } \mathbf{n}^0 = -p_0 \mathbf{n}^0$. Поскольку $|\mathbf{n}| = |\mathbf{n}^0| = 1$, в главном порядке по δn выполнено условие $\delta\mathbf{n} \perp \mathbf{n}^0$. Вектор $\delta\mathbf{n} = (\delta n_x, \delta n_y, \delta n_z)$ можно параметризовать с помощью двух величин. В ХЖК обычно выбирают параметризацию [20, 21]

$$\begin{aligned} \delta n_x(\mathbf{r}) &= -u_1(\mathbf{r}) \sin \phi(z), \\ \delta n_y(\mathbf{r}) &= u_1(\mathbf{r}) \cos \phi(z), \\ \delta n_z(\mathbf{r}) &= u_2(\mathbf{r}). \end{aligned} \quad (2.17)$$

Мода u_1 определяет флуктуации директора в плоскости XY , а u_2 — флуктуации вдоль оси z (рис. 1). В векторной записи

$$\delta\mathbf{n}(\mathbf{r}) = u_1(\mathbf{r}) \mathbf{h}^{(1)}(z) + u_2(\mathbf{r}) \mathbf{h}^{(2)}, \quad (2.18)$$

где

$$\mathbf{h}^{(1)}(z) = \mathbf{h}^{(2)} \times \mathbf{n}_0(z), \quad \mathbf{h}^{(2)} = \mathbf{e}_z. \quad (2.19)$$

Из (2.18) получаем выражение для корреляцион-

ной функции флуктуаций директора через корреляционную матрицу скалярных величин $u_{1,2}$:

$$g_{\alpha\beta}(\mathbf{r}_\perp; z_1, z_2) = \sum_{k,l=1}^2 G_{kl}(\mathbf{r}_\perp; z_1, z_2) h_\alpha^{(k)}(z_1) h_\beta^{(l)}(z_2), \quad (2.20)$$

где

$$G_{kl}(\mathbf{r}_{1\perp} - \mathbf{r}_{2\perp}; z_1, z_2) \equiv G_{kl}(\mathbf{r}_1, \mathbf{r}_2) = \langle u_k(\mathbf{r}_1) u_l(\mathbf{r}_2) \rangle. \quad (2.21)$$

Подставляя (2.17) в уравнение (2.16), имеем

$$\begin{aligned} \delta F = \frac{1}{2} \times \\ \times \int d\mathbf{r} \left\{ K_{11} (-\sin\phi \partial_x u_1 + \cos\phi \partial_y u_1 + \partial_z u_2)^2 + \right. \\ + K_{22} [\cos\phi (\partial_y u_2 - \partial_z (u_1 \cos\phi)) + \\ + \sin\phi (\partial_z (-u_1 \sin\phi) - \partial_x u_2)]^2 + \\ + K_{33} [(-u_2 p_0 \sin\phi + \cos\phi \partial_x (-u_1 \sin\phi) + \\ + \sin\phi \partial_y (-u_1 \sin\phi))^2 + \\ + (u_2 p_0 \cos\phi + \cos\phi \partial_x (u_1 \cos\phi) + \\ + \sin\phi \partial_y (u_1 \cos\phi))^2 + \\ \left. + (\cos\phi \partial_x u_2 + \sin\phi \partial_y u_2)^2 \right\}, \quad (2.22) \end{aligned}$$

где $\partial_\ell \equiv \partial/\partial \ell$, $\ell = x, y, z$.

Поскольку равновесный ХЖК в плоскости, ортогональной оси z , является пространственно-однородным, удобно перейти к двумерному спектру Фурье. Ниже мы будем использовать непрерывное двумерное преобразование Фурье в виде

$$\begin{aligned} f(\mathbf{r}) &= \int \frac{d\mathbf{q}}{(2\pi)^2} f(\mathbf{q}, z) e^{i\mathbf{q}\cdot\mathbf{r}_\perp}, \\ f(\mathbf{q}, z) &= \int d\mathbf{r}_\perp f(\mathbf{r}) e^{-i\mathbf{q}\cdot\mathbf{r}_\perp}. \end{aligned} \quad (2.23)$$

Тогда энергия искажения (2.22) принимает вид

$$\delta F = \int \frac{d^2\mathbf{q}}{(2\pi)^2} \delta F_{\mathbf{q}}, \quad (2.24)$$

где

$$\begin{aligned} \delta F_{\mathbf{q}} = \frac{1}{2} \int dz \times \\ \times \left\{ K_{11} |\partial_z u_2 + i(-\sin\phi q_x + \cos\phi q_y) u_1|^2 + \right. \\ + K_{22} |-\partial_z u_1 + i u_2 (\cos\phi q_y - \sin\phi q_x)|^2 + \\ + K_{33} \left[|u_2 p_0 + i(\cos\phi q_x + \sin\phi q_y) u_1|^2 + \right. \\ \left. + |u_2|^2 (\cos\phi q_x + \sin\phi q_y)^2 \right] \left. \right\}. \quad (2.25) \end{aligned}$$

Выполняя интегрирование по частям и пренебрегая внеинтегральными членами, величину $\delta F_{\mathbf{q}}$ можно представить в виде квадратичной формы

$$\delta F_{\mathbf{q}} = \frac{1}{2} \int \mathbf{u}^*(\mathbf{q}, z) \hat{A}(\mathbf{q}, z) \mathbf{u}(\mathbf{q}, z) dz. \quad (2.26)$$

Здесь

$$\mathbf{u} = \begin{pmatrix} u_1 \\ u_2 \end{pmatrix}.$$

Матрица \hat{A} представляет собой дифференциальный оператор второго порядка. В системе координат с осью x , направленной вдоль вектора \mathbf{q} ($q_x = q$, $q_y = 0$), она имеет вид

$$\begin{aligned} \hat{A} = K_{11} \begin{pmatrix} q^2 \sin^2 \phi & iq \sin \phi \partial_z \\ iq \partial_z \sin \phi & -\partial_z^2 \end{pmatrix} + \\ + K_{22} \begin{pmatrix} -\partial_z^2 & -iq \partial_z \sin \phi \\ -iq \sin \phi \partial_z & q^2 \sin^2 \phi \end{pmatrix} + \\ + K_{33} \begin{pmatrix} q^2 \cos^2 \phi & -ip_0 q \cos \phi \\ ip_0 q \cos \phi & q^2 \cos^2 \phi + p_0^2 \end{pmatrix}, \quad (2.27) \end{aligned}$$

где $\partial_z^2 \equiv \partial^2/\partial z^2$.

Вероятность флуктуаций пропорциональна $\exp[-\delta F_{\mathbf{q}}/k_B T]$, где k_B — постоянная Больцмана, T — температура. Тогда, согласно общим принципам статической механики [36], вычисление корреляционной функции сводится к обращению матрицы \hat{A} , что эквивалентно решению уравнения

$$\hat{A}(\mathbf{q}, z) \hat{G}(\mathbf{q}; z, z_1) = k_B T \delta(z - z_1) \hat{I}. \quad (2.28)$$

Для однозначной разрешимости уравнение (2.28) должно быть дополнено граничными условиями. В безграничной системе в качестве таких условий следует использовать принцип ослабления корреляций, т. е. условие $\hat{G}(\mathbf{q}; z, z_1) \rightarrow \hat{0}$ при $z \rightarrow \pm\infty$.

3. ОБЩАЯ ТЕОРИЯ ОДНОКРАТНОГО РАССЕЯНИЯ СВЕТА В СЛОИСТОЙ СРЕДЕ

С оптической точки зрения холестерика представляют собой пространственно-неоднородную среду, свойства которой изменяются вдоль оси холестерика. Нормальные волны и поле точечного источника в такой среде имеют сложную структуру. Кроме того, корреляционная функция флуктуаций диэлектрической проницаемости $\hat{G}(\mathbf{r}_1, \mathbf{r}_2)$ зависит здесь не только от разности пространственных координат $\mathbf{r}_1 - \mathbf{r}_2$, но и от их абсолютных значений. Все это

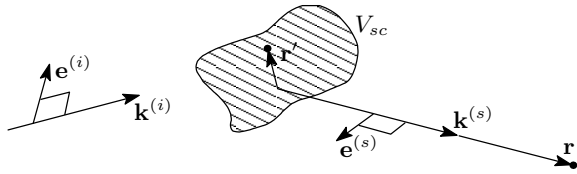


Рис. 2. Геометрия обычного эксперимента по рассеянию света: $\mathbf{k}^{(i)}$ — волновой вектор падающей волны, V_{sc} — рассеивающий объем, $\mathbf{k}^{(s)}$ — волновой вектор рассеянной волны, \mathbf{r} — точка наблюдения

приводит к тому, что задача рассеяния света в ХЖК имеет специфические особенности. Для того чтобы проиллюстрировать эти особенности, изложим кратко обычный подход к решению задачи о рассеянии света в однородной изотропной среде с диэлектрической проницаемостью $\varepsilon_{lk}^0 = \varepsilon_0 \delta_{lk}$.

3.1. Однородная среда

При обычной постановке задачи рассеяния света предполагается, что на образец падает плоская волна

$$\mathbf{E}^{(i)}(\mathbf{r}) = E_0 \mathbf{e}^{(i)} \exp(i\mathbf{k}^{(i)} \cdot \mathbf{r}),$$

где E_0 — амплитуда, $\mathbf{e}^{(i)}$ — вектор поляризации, $\mathbf{k}^{(i)}$ — волновой вектор падающей волны ($\mathbf{e}^{(i)} \perp \mathbf{k}^{(i)}$), а рассеянное поле с вектором поляризации $\mathbf{e}^{(s)}$ регистрируется на больших расстояниях от рассеивающего объема V_{sc} (рис. 2). В этом случае можно считать рассеянное поле квазиплоской волной с волновым вектором $\mathbf{k}^{(s)}$. Чтобы не учитывать преломления на границе, будем считать, что образец окружен однородной средой с диэлектрической проницаемостью ε_0 . Тогда $|\mathbf{k}^{(i)}| = |\mathbf{k}^{(s)}| = k$, где $k = k_0 \sqrt{\varepsilon_0}$ — волновое число в среде.

В изотропной среде $\hat{T}^0(\mathbf{r}, \mathbf{r}') \equiv \hat{T}_0(\mathbf{r} - \mathbf{r}')$, где в приближении дальней (волновой) зоны, когда $kR \gg 1$,

$$T_{0\alpha\beta}(\mathbf{R}) \approx P_{\alpha\beta}(\mathbf{R}) \frac{e^{ikR}}{4\pi R}, \quad (3.1)$$

где

$$P_{\alpha\beta}(\mathbf{R}) = \delta_{\alpha\beta} - \frac{R_\alpha R_\beta}{R^2} \quad (3.2)$$

— поперечный проектор на плоскость, перпендикулярную \mathbf{R} [37]. Наличие тензора $P_{\alpha\beta}$ в (3.1) обеспечивает поперечность поля точечного источника в дальней зоне.

На больших расстояниях от образца, когда $R = |\mathbf{r} - \mathbf{r}'| \gg V_{sc}^{1/3} \sim r'$, можно в неэкспоненциальных множителях формулы (3.1) провести

замену $|\mathbf{r} - \mathbf{r}'| \approx r$, а в показателе экспоненты использовать «фраунгоферовское» приближение $|\mathbf{r} - \mathbf{r}'| \approx r - \mathbf{r}' \cdot \mathbf{r}/r$ (последнее подразумевает выполнение также условия $kV_{sc}^{2/3} \ll r$). В результате из выражения (3.1) получаем «плосковолновое» приближение для функции Грина:

$$T_{0\alpha\beta}(\mathbf{r} - \mathbf{r}') \approx P_{\alpha\beta}(\mathbf{r}) \frac{e^{ikr}}{4\pi r} e^{-i\mathbf{k}^{(s)} \cdot \mathbf{r}'}, \quad (3.3)$$

где $\mathbf{k}^{(s)} = k\mathbf{r}/r$ — волновой вектор рассеянной волны.

Полагая в (2.9) $\mathbf{E}^0(\mathbf{r}) = \mathbf{E}^{(i)}(\mathbf{r})$ и используя формулу (3.3), получаем выражение для рассеянного поля

$$E_\alpha^{(s)}(\mathbf{r}) = E_0 \frac{k_0^2 e^{ikr}}{4\pi r} P_{\alpha\beta}(\mathbf{r}) e_\gamma^{(i)} \times \int_{V_{sc}} d\mathbf{r}' \delta\varepsilon_{\beta\gamma}(\mathbf{r}') e^{i(\mathbf{k}^{(i)} - \mathbf{k}^{(s)}) \cdot \mathbf{r}'}. \quad (3.4)$$

Таким образом, получаем, что рассеянное поле определяется трехмерной фурье-компонентой флуктуаций диэлектрической проницаемости $\delta\varepsilon(\mathbf{Q})$ в объеме V_{sc} , где $\mathbf{Q} = \mathbf{k}^{(s)} - \mathbf{k}^{(i)}$ — вектор рассеяния. Учитывая, что $e_\alpha^{(s)} P_{\alpha\beta} = e_\beta^{(s)}$, получаем, в частности, для компоненты рассеянного поля с поляризацией $\mathbf{e}^{(s)}$

$$E^{(s)}(\mathbf{r}) = E_0 \frac{k_0^2 e^{ikr}}{4\pi r} \mathbf{e}^{(s)} \delta\varepsilon(\mathbf{Q}) \mathbf{e}^{(i)}. \quad (3.5)$$

Соответствующая интенсивность (модуль вектора Пойнтинга) рассеянного света,

$$I_{(i)}^{(s)} = \frac{c}{8\pi} \sqrt{\varepsilon_0} \left\langle |E^{(s)}|^2 \right\rangle, \quad (3.6)$$

имеет, таким образом, вид

$$I_{(i)}^{(s)} = \frac{V_{sc} I_0^{(i)} k_0^4}{(4\pi)^2 r^2} e_\alpha^{(s)} e_\beta^{(s)} \mathcal{G}_{\alpha\nu\beta\mu}(\mathbf{Q}) e_\mu^{(i)} e_\nu^{(i)}, \quad (3.7)$$

где $I_0^{(i)}$ — интенсивность падающего света, а $\hat{\mathcal{G}}(\mathbf{Q})$ — трехмерный фурье-образ корреляционной функции флуктуаций диэлектрической проницаемости, которая в однородной среде зависит только от разности координат $\hat{\mathcal{G}}(\mathbf{r}, \mathbf{r}') = \hat{\mathcal{G}}(\mathbf{r} - \mathbf{r}')$. Здесь мы учли соотношение $\langle \delta\varepsilon(\mathbf{Q}) \otimes \delta\varepsilon^*(\mathbf{Q}) \rangle = V_{sc} \hat{\mathcal{G}}(\mathbf{Q})$, \otimes — знак тензорного произведения.

Подчеркнем, что с симметричной точки зрения тот факт, что в формуле (3.5) рассеянное поле выражено через одну трехмерную фурье-гармонику флуктуаций $\delta\varepsilon$, является следствием пространственной однородности системы по отношению к ее оптическим свойствам.

3.2. Среда с периодическими неоднородностями

Перейдем теперь к рассмотрению интересующей нас ситуации, когда свойства среды меняются периодически.

Простейший подход, позволяющий учесть периодические неоднородности, — использовать так называемое кинематическое приближение в теории дифракции [8, 9]. Запишем тензор диэлектрической проницаемости $\hat{\epsilon}(\mathbf{r})$ в виде

$$\epsilon_{\alpha\beta}(\mathbf{r}) = \epsilon_0 \delta_{\alpha\beta} + \Delta\epsilon_{\alpha\beta}^0(\mathbf{r}) + \delta\epsilon_{\alpha\beta}(\mathbf{r}),$$

где член $\Delta\epsilon^0(\mathbf{r})$ учитывает периодические неоднородности структуры, а $\delta\epsilon(\mathbf{r})$ — случайные флуктуации. Рассматривая $\Delta\epsilon^0(\mathbf{r}) + \delta\epsilon(\mathbf{r})$ как возмущение, можно считать, что падающее и рассеянное поля распространяются в однородной среде, и мы получим, аналогично (3.4), соответствующее рассеянное поле с поляризацией $\mathbf{e}^{(s)}$ в виде

$$E^{(s)}(\mathbf{r}) = E_0 \frac{k_0^2 e^{ikr}}{4\pi r} \times \left[\mathbf{e}^{(s)} \Delta\epsilon^0(\mathbf{Q}) \mathbf{e}^{(i)} + \mathbf{e}^{(s)} \delta\hat{\epsilon}(\mathbf{Q}) \mathbf{e}^{(i)} \right]. \quad (3.8)$$

Первый из членов суммы в правой части (3.8) соответствует рассеянию на периодической структуре (дифракции), а второй — обычному рэлеевскому рассеянию (3.4).

Обе формулы, (3.4) и (3.8), соответствуют приближению однократного рассеяния. Однако, если в случае (3.4) это приближение обосновано малостью тепловых флуктуаций $\delta\epsilon(\mathbf{r})$, в случае (3.8) периодическая часть неоднородностей $\Delta\epsilon^0(\mathbf{r})$ обычно уже не мала и приближение однократного рассеяния для нее, вообще говоря, несправедливо. Использование формулы типа (3.8) для описания рассеяния света может быть правомерно только в случае очень малых периодических неоднородностей или в очень тонких образцах.

Проблема учета влияния немалых периодических неоднородностей на рассеяние света корректно решается, если перейти от описания рассеяния в терминах нормальных волн $\mathbf{E}_0(\mathbf{r}) \propto \exp(i\mathbf{k} \cdot \mathbf{r})$ и функции Грина $\hat{T}_0(\mathbf{r} - \mathbf{r}')$ однородной среды с диэлектрической проницаемостью $\epsilon_0 \delta_{\alpha\beta}$ к нормальным волнам $\mathbf{E}^0(\mathbf{r})$ и функции Грина $\hat{T}^0(\mathbf{r}, \mathbf{r}')$ периодически неоднородной среды с диэлектрической проницаемостью $\epsilon_{\alpha\beta}^0 = \epsilon_0 \delta_{\alpha\beta} + \Delta\epsilon_{\alpha\beta}^0(\mathbf{r})$.

В этом случае однократно рассеянное на случайных флуктуациях $\delta\hat{\epsilon}$ поле описывается формулой (2.9). Эта формула учитывает одну кратность

рассеяния на флуктуациях $\delta\hat{\epsilon}(\mathbf{r})$ и все порядки рассеяния на периодической структуре $\Delta\epsilon^0(\mathbf{r})$ (дифракция). Последнее следует из того, что в интегральной форме уравнения (2.7) и (2.8), определяющие $\mathbf{E}^0(\mathbf{r})$ и $\hat{T}^0(\mathbf{r}, \mathbf{r}')$, имеют вид

$$\mathbf{E}^0(\mathbf{r}) = \mathbf{E}_0(\mathbf{r}) + k_0^2 \int \hat{T}_0(\mathbf{r} - \mathbf{r}') \Delta\epsilon^0(\mathbf{r}') \mathbf{E}^0(\mathbf{r}') d\mathbf{r}',$$

$$\hat{T}^0(\mathbf{r}, \mathbf{r}') = \hat{T}_0(\mathbf{r} - \mathbf{r}') + k_0^2 \int \hat{T}_0(\mathbf{r} - \mathbf{r}'') \Delta\epsilon^0(\mathbf{r}'') \hat{T}^0(\mathbf{r}'', \mathbf{r}') d\mathbf{r}''.$$

Итерируя эти уравнения, мы действительно получаем в правой части все порядки по $\Delta\epsilon^0$.

Отметим, что здесь, в отличие от случая однородной среды (3.1), функция Грина $\hat{T}^0(\mathbf{r}, \mathbf{r}')$ уже не есть функция разности $\mathbf{r} - \mathbf{r}'$, а нормальные волны $\mathbf{E}^0(\mathbf{r})$ не имеют простого вида плоской волны пропорционального $\exp(i\mathbf{k} \cdot \mathbf{r})$. Соответственно, несправедливо также «плосковолновое» приближение (3.3) для функции Грина в координатном представлении. Поэтому в такой среде интенсивность однократного рассеяния не будет пропорциональна трехмерному фурье-образу флуктуаций диэлектрической проницаемости $\delta\epsilon$ на волновом векторе $\mathbf{Q} = \mathbf{k}^{(s)} - \mathbf{k}^{(i)}$.

Таким образом, в этом случае неприменима обычная схема расчета интенсивности рассеяния (3.1)–(3.7), и нужен другой подход.

Кроме проблемы учета периодических неоднородностей, которая решается путем использования формулы (2.9) вместо (3.4), в задаче рассеяния для неоднородных систем имеется еще одна проблема. Формула (2.9), в отличие от (3.4), описывает рассеянное поле только внутри среды. В эксперименте же обычно измеряются интенсивности рассеяния вне среды. Для однородных в среднем рассеивающих сред эта проблема обычно решается следующим образом. В простейшем случае предполагается, что рассеивающий объем помещен внутрь однородной среды с диэлектрической проницаемостью ϵ_0 , что позволяет избежать рассмотрения вопроса о преломлении на границе образца. Более последовательный подход — учет преломления света на границах образца. Поскольку в однородной среде падающая волна является плоской, а рассеянная волна в дальней зоне внутри образца также может считаться квазиплоской, задача преломления может решаться на основе обычных формул Френеля. Здесь, однако, даже в изотропной системе существует тонкость, связанная с нетривиальной коррекцией телесных углов при преломлении. Для анизотропных рассеивающих сред эта проблема разобрана в работах [38].

Оптические свойства рассеивающей системы с периодическими неоднородностями рассеивающей и окружающей однородной среды различаются принципиально. Нормальные волны и функция Грина внутри и вне рассеивающего объема существенно различны (и, в частности, падающая и рассеянная волны могут считаться плоскими только вне образца), что не позволяет игнорировать наличие границы.

Для преодоления этих трудностей в средах с одномерными периодическими неоднородностями можно использовать следующую схему расчета интенсивности однократного рассеяния. Пусть рассеивающий объем представляет собой плоский слой $0 \leq z \leq L$ с достаточно большими поперечными размерами $L_{\perp} \gg L$, на который со стороны $z = -\infty$ падает плоская волна, а рассеянное поле регистрируется в области $z > L$, т. е. в передней полусфере. Последнее не принципиально, поскольку тем же способом можно рассматривать и рассеяние в задней полусфере, $z < 0$.

Сначала мы определим падающее поле $\mathbf{E}_{in}^{(i)}(\mathbf{r})$ внутри среды, порожденное плоской падающей волной $\mathbf{E}_{out}^{(i)}(\mathbf{r})$ вне среды с волновым вектором $\mathbf{k}^{(i)}$. Здесь и далее индексы «in» и «out» относятся к величинам, вычисленным соответственно внутри и вне неоднородной среды. Связь между компонентами поля внутри и снаружи образца на его границе без труда может быть найдена на основе общих граничных условий в электродинамике. Для плоскостойких сред с границами, параллельными слоям, волна внутри среды будет иметь вид

$$\mathbf{E}_{in}^{(i)}(\mathbf{r}) = \mathcal{E}^{(i)}(\mathbf{k}_{\perp}^{(i)}, z) e^{i\mathbf{k}_{\perp}^{(i)} \cdot \mathbf{r}_{\perp}}, \quad (3.9)$$

где функция $\mathcal{E}^{(i)}(\mathbf{k}_{\perp}^{(i)}, z)$ определяется свойствами плоскостойкой среды, поляризацией падающей волны $\mathbf{E}_{out}^{(i)}(\mathbf{r})$ и ее амплитудой. Поэтому нам потребуется соответствующее соотношение только для фурье-компонент полей $\mathbf{E}_{out}^{(i)}(\mathbf{k}_{\perp}^{(i)}, z)$ и $\mathbf{E}_{in}^{(i)}(\mathbf{k}_{\perp}^{(i)}, z)$ по координатам x и y .

Отметим, что в силу тождества $k_z^2 + k_{\perp}^2 = k_0^2 \varepsilon_0$, справедливого вне плоскостойкой среды, для задания полного волнового вектора \mathbf{k} достаточно задать вектор \mathbf{k}_{\perp} и знак компоненты k_z . Поэтому при известном направлении падения волны на образец (положительном или отрицательном по отношению к z) достаточно задать вектор $\mathbf{k}_{\perp}^{(i)}$. Это же справедливо и для волнового вектора $\mathbf{k}_{\perp}^{(s)}$ рассеянной волны

$$\mathbf{E}_{in}^{(s)}(\mathbf{r}) = \mathcal{E}^{(s)}(\mathbf{k}_{\perp}^{(s)}, z) e^{i\mathbf{k}_{\perp}^{(s)} \cdot \mathbf{r}_{\perp}}. \quad (3.10)$$

Рассеянное поле $\mathbf{E}_{in}^{(s)}(\mathbf{k}_{\perp}^{(s)}, L)$ на границе $z = L$ внутри неоднородного образца можно найти, используя формулы (2.9), (3.9). Имеем

$$\mathbf{E}_{in}^{(s)}(\mathbf{k}_{\perp}^{(s)}, L) = k_0^2 \int_0^L dz' \widehat{T}^0(\mathbf{k}_{\perp}^{(s)}; L, z') \times \delta \hat{\varepsilon}(\mathbf{k}_{\perp}^{(s)} - \mathbf{k}_{\perp}^{(i)}, z') \mathcal{E}^{(i)}(\mathbf{k}_{\perp}^{(i)}, z'). \quad (3.11)$$

Здесь, как мы видим, кроме знания функций $\mathcal{E}^{(i)}(\mathbf{k}_{\perp}^{(i)}, z)$ нам потребуется выражение для фурье-компонент функции Грина $\widehat{T}^0(\mathbf{k}_{\perp}^{(s)}; z, z')$.

На основе граничных условий можно определить связь между полем $\mathbf{E}_{out}^{(s)}(\mathbf{r})$ вне образца и полем $\mathbf{E}_{in}^{(s)}(\mathbf{r})$ внутри образца на границе. Причем фактически, нам потребуется соответствующее соотношение только для фурье-компонент $\mathbf{E}_{out}^{(s)}(\mathbf{k}_{\perp}^{(s)}, L)$ и $\mathbf{E}_{in}^{(s)}(\mathbf{k}_{\perp}^{(s)}, L)$.

Поле $\mathbf{E}_{out}^{(s)}(\mathbf{r})$ в точке наблюдения \mathbf{r} вдали от образца можно найти по значениям поля $\mathbf{E}_{out}^{(s)}(\mathbf{r}_{\perp}, L)$ на границе рассеивающего объема вне образца с помощью метода Кирхгофа [39].

3.3. Метод Кирхгофа

Поясним применение метода Кирхгофа сначала на примере скалярного волнового поля. Рассмотрим произвольную область Γ , ограниченную замкнутой поверхностью Σ , лежащую целиком вне неоднородного образца, т. е. в однородной среде. Внутри области Γ поле $E(\mathbf{r}) = E_{out}(\mathbf{r})$ удовлетворяет уравнению Гельмгольца

$$(\Delta + k_0^2 \varepsilon_0) E(\mathbf{r}) = 0. \quad (3.12)$$

Пусть функция $T(\mathbf{r}, \mathbf{r}') = T_{out}(\mathbf{r}, \mathbf{r}')$ для всех $\mathbf{r}, \mathbf{r}' \in \Gamma$ удовлетворяет уравнению

$$(\Delta + k_0^2 \varepsilon_0) T(\mathbf{r}, \mathbf{r}') = -\delta(\mathbf{r} - \mathbf{r}'). \quad (3.13)$$

Тогда из (3.12), (3.13) следует интегральная теорема Кирхгофа–Гельмгольца [39],

$$E(\mathbf{r}) = \int_{\Sigma} d^2 \mathbf{r}' (T(\mathbf{r}, \mathbf{r}') \nabla_{\mathbf{r}'} E(\mathbf{r}') - E(\mathbf{r}') \nabla_{\mathbf{r}'} T(\mathbf{r}, \mathbf{r}')) \cdot \mathbf{s}(\mathbf{r}'), \quad (3.14)$$

где $\mathbf{r} \in \Gamma$ — произвольная точка, $\mathbf{r}' \in \Sigma$, $\mathbf{s}(\mathbf{r}')$ — внешняя нормаль к поверхности Σ в точке \mathbf{r}' .

Уравнение (3.13) не определяет функцию $T(\mathbf{r}, \mathbf{r}')$ однозначно — требуются дополнительно граничные условия. Если в качестве граничного условия к этому уравнению взять $T|_{\Sigma} = 0$, то в этом случае поле в

точке наблюдения $E(\mathbf{r})$ может быть выражено через значения поля $E(\mathbf{r}')$ на поверхности Σ :

$$E(\mathbf{r}) = - \int_{\Sigma} d^2\mathbf{r}' E(\mathbf{r}') \nabla_{\mathbf{r}'} T(\mathbf{r}, \mathbf{r}') \cdot \mathbf{s}(\mathbf{r}'). \quad (3.15)$$

Вид функции Грина, удовлетворяющей условию $T|_{\Sigma} = 0$, зависит от формы образца. Рассмотрим наиболее простую ситуацию, когда поверхность Σ является участком плоскости $z = L$ с достаточно большими поперечными размерами L_{\perp} , замкнутым большой полусферой. Если функция Грина $T(\mathbf{r}, \mathbf{r}')$ удовлетворяет на бесконечности условиям излучения (а мы ниже будем выбирать именно такие функции), то вклад в интеграл (3.15) от этой полусферы стремится к нулю с ростом её размеров. В этом случае граничное условие $T|_{\Sigma} = 0$ сводится к $T|_{z=L} = 0$ и, используя метод зеркальных отображений, получим

$$T(\mathbf{r}, \mathbf{r}') = \frac{1}{4\pi} \left(\frac{e^{ik|\mathbf{r}-\mathbf{r}'|}}{|\mathbf{r}-\mathbf{r}'|} - \frac{e^{ik|\mathbf{r}-\mathbf{r}'_1|}}{|\mathbf{r}-\mathbf{r}'_1|} \right), \quad (3.16)$$

где \mathbf{r}'_1 — зеркальное отражение точки \mathbf{r}' относительно плоской границы $z = L$.

Предположим, что измерение поля осуществляется в точке $\mathbf{r} = (\mathbf{r}_{\perp}, z)$, $z - L \gg L_{\perp}$. Тогда можно применить приближение типа (3.3) в обоих членах формулы (3.16). Учитывая, что в нашей геометрии $\mathbf{s}(\mathbf{r}') \cdot \nabla_{\mathbf{r}'} = -\partial/\partial z'$, из (3.15) находим

$$E(\mathbf{r}) = \frac{-ik_0\sqrt{\varepsilon_0}}{2\pi} \frac{e^{ikr}}{r} \frac{z}{r} e^{-ik_z^{(s)}L} \times \int_{\Sigma} d^2\mathbf{r}'_{\perp} E(\mathbf{r}'_{\perp}, L) e^{-i\mathbf{k}_{\perp}^{(s)} \cdot \mathbf{r}'_{\perp}}. \quad (3.17)$$

Таким образом, при $L_{\perp} \gg \lambda$, где λ — длина волны света, получаем, что поле в точке \mathbf{r} пропорционально поперечной фурье-компоненте поля на плоскости Σ :

$$E(\mathbf{r}) = \frac{-ik_0\sqrt{\varepsilon_0}}{2\pi} \frac{e^{ikr}}{r} \frac{z}{r} e^{-ik_z^{(s)}L} E(\mathbf{k}_{\perp}^{(s)}, L). \quad (3.18)$$

Соответствующая интенсивность имеет, таким образом, вид

$$I \propto |E(\mathbf{r})|^2 = \frac{k_0^2\varepsilon_0}{4\pi^2} \frac{1}{r^2} \left(\frac{z}{r}\right)^2 \left|E(\mathbf{k}_{\perp}^{(s)}, L)\right|^2. \quad (3.19)$$

Перейдем теперь к рассмотрению реальной векторной ситуации для электромагнитного поля $\mathbf{E}(\mathbf{r})$. Поле $\mathbf{E}(\mathbf{r}) = \mathbf{E}_{out}(\mathbf{r})$ вне неоднородного образца удовлетворяет волновому уравнению

$$(\text{rot rot} - k_0^2\varepsilon_0) \mathbf{E}(\mathbf{r}) = 0. \quad (3.20)$$

Нетрудно проверить, что система трех связанных уравнений (3.20) эквивалентна системе

$$\begin{cases} (\Delta + k_0^2\varepsilon_0) \mathbf{E}(\mathbf{r}) = 0, \\ \text{div} \mathbf{E}(\mathbf{r}) = 0. \end{cases} \quad (3.21)$$

Первое уравнение (3.21) означает, что каждая из трех векторных компонент поля удовлетворяет скалярному уравнению Гельмгольца

$$(\Delta + k_0^2\varepsilon_0) E_{\alpha}(\mathbf{r}) = 0, \quad (3.22)$$

а второе уравнение — что все три компоненты вместе — дополнительно условию $\text{div} \mathbf{E} = 0$, соответствующему поперечности электромагнитного поля. Поэтому формально для каждой из трех компонент поля E_{α} применима скалярная формула типа Кирхгофа (3.18). При этом мы, однако, не учли условие поперечности поля $\text{div} \mathbf{E} = 0$ в (3.21). Для его учета умножим набор трех скалярных формул (3.18) для каждой из компонент поля на проектор $\hat{P}(\mathbf{r})$ (3.2), обеспечивающий поперечность поля в дальней зоне. В результате получаем векторный аналог формулы Кирхгофа в виде¹⁾

$$\mathbf{E}(\mathbf{r}) = \frac{-ik_0\sqrt{\varepsilon_0}}{2\pi} \frac{e^{ikr}}{r} \times \frac{z}{r} e^{-ik_z^{(s)}L} \hat{P}(\mathbf{r}) \mathbf{E}(\mathbf{k}_{\perp}^{(s)}, L). \quad (3.23)$$

Тогда в силу соотношения $e_{\alpha}^{(s)} P_{\alpha\beta} = e_{\beta}^{(s)}$ получаем аналогично (3.5)–(3.7) формулу для интенсивности компоненты рассеянного поля с поляризацией $\mathbf{e}^{(s)}$,

$$I^{(s)} = \frac{\sqrt{\varepsilon_0}c^2}{8\pi} \frac{k_0^2\varepsilon_0}{4\pi^2} \frac{1}{r^2} \left(\frac{z}{r}\right)^2 \times \left\langle \left| \mathbf{e}^{(s)} \cdot \mathbf{E}_{out}^{(s)}(\mathbf{k}_{\perp}^{(s)}, L) \right|^2 \right\rangle. \quad (3.24)$$

В случае пространственно-однородных систем формула (3.24) переходит в выражение (3.7). Дей-

¹⁾ Как известно [39], прямой перенос скалярной формулы Кирхгофа на векторный случай приводит к проблеме — нарушению условия поперечности $\text{div} \mathbf{E} = 0$. Для устранения этого противоречия можно использовать векторную формулу Кирхгофа–Котлера (см., например, [40]). Однако в приближении дальней зоны образца непоперечность поля \mathbf{E} при применении обычных формул Кирхгофа имеет порядок $\lambda/L_{\perp} \ll 1$. В такой ситуации использование простой векторной формулы (3.23), в которой поперечность поля обеспечивается проектором $P_{\alpha\beta}(\mathbf{r})$, эквивалентно использованию метода Кирхгофа–Котлера.

ствительно, выполняя в формуле (2.9) преобразование Фурье по поперечным переменным x и y , имеем

$$\mathbf{E}^{(s)}(\mathbf{k}_\perp^{(s)}, L) = E_0 k_0^2 \int_0^L dz' \widehat{T}^0(\mathbf{k}_\perp^{(s)}, L - z') \times \delta \hat{\varepsilon}(\mathbf{k}_\perp^{(s)} - \mathbf{k}_\perp^{(i)}, z') \mathbf{e}^{(i)} e^{ik_z^{(i)} z'}. \quad (3.25)$$

Фурье-образ функции Грина $\widehat{T}^0(\mathbf{r})$ по координатам x, y имеет вид

$$\widehat{T}^0(\mathbf{k}_\perp^{(s)}, L - z') = \frac{i}{2k_z^{(s)}} e^{ik_z^{(s)} |L - z'|} \widehat{P}(\mathbf{k}^{(s)}), \quad (3.26)$$

где $k_z^{(s)} = \sqrt{k_0^2 \varepsilon_0 - k_\perp^{(s)2}$. Для однородной системы, в которой ε_0 внутри и вне образца совпадают,

$$\mathbf{E}_{in}^{(s)}(\mathbf{k}_\perp^{(s)}, L) = \mathbf{E}_{out}^{(s)}(\mathbf{k}_\perp^{(s)}, L).$$

Поскольку $\mathbf{k}^{(s)} = k_0 \sqrt{\varepsilon_0} \mathbf{r}/r$, имеем

$$k_z^{(s)} = k_0 \sqrt{\varepsilon_0} z/r, \quad \widehat{P}(\mathbf{k}^{(s)}) = \widehat{P}(\mathbf{r}).$$

Подставляя (3.26) в (3.25), получаем с учетом условия $z' < L$,

$$\mathbf{E}_{(out)}^{(s)}(\mathbf{k}_\perp^{(s)}, L) = \frac{iE_0 k_0^2}{2k_z^{(s)}} \widehat{P}(\mathbf{r}) \delta \hat{\varepsilon}(\mathbf{k}_s - \mathbf{k}_i) \mathbf{e}^{(i)} e^{ik_z^{(i)} L}. \quad (3.27)$$

Подставляя это выражение в формулу (3.23) и умножая скалярно левую и правую части на вектор $\mathbf{e}^{(s)}$, получаем (3.5).

При применении формулы (3.24) к задаче о рассеянии света в ХЖК пренебрегать разницей между полями \mathbf{E}_{in} и \mathbf{E}_{out} нельзя. Для нахождения связи между ними учтем, что при проходе через границу раздела двух сред тангенциальная составляющая поля не меняется:

$$\begin{aligned} E_{out\perp}^{(i)}(\mathbf{k}_\perp^{(i)}, 0) &= E_{in\perp}^{(i)}(\mathbf{k}_\perp^{(i)}, 0), \\ E_{out\perp}^{(s)}(\mathbf{k}_\perp^{(s)}, L) &= E_{in\perp}^{(s)}(\mathbf{k}_\perp^{(s)}, L), \end{aligned} \quad (3.28)$$

а компоненты $E_{outz}(\mathbf{k}_\perp^{(s)}, L)$, $E_{outz}(\mathbf{k}_\perp^{(i)}, 0)$ можно получить из условия $\text{div } \mathbf{D} = 0$.

В случае, когда шаг спирали велик по сравнению с длиной волны $d \gg \lambda$, можно использовать приближение геометрической оптики внутри ХЖК. При этом между полями на границах внутри \mathbf{E}_{in} и вне \mathbf{E}_{out} среды имеются линейные соотношения вида

$$\begin{aligned} \mathbf{E}_{in}^{(i)}(\mathbf{k}_\perp^{(i)}, 0) &= \widehat{M}^{out \rightarrow in}(\mathbf{k}_\perp^{(i)}, 0) \mathbf{E}_{out}^{(i)}(\mathbf{k}_\perp^{(i)}, 0), \\ \mathbf{E}_{out}^{(s)}(\mathbf{k}_\perp^{(s)}, L) &= \widehat{M}^{in \rightarrow out}(\mathbf{k}_\perp^{(s)}, L) \mathbf{E}_{in}^{(s)}(\mathbf{k}_\perp^{(s)}, L), \end{aligned} \quad (3.29)$$

где матрицы пересчета $\widehat{M}^{out \rightarrow in}$, $\widehat{M}^{in \rightarrow out}$ несложно получить из уравнений (3.28) и условия $\text{div } \mathbf{D} = 0$.

Из (3.11), (3.29) и соотношения $\langle \delta \hat{\varepsilon}(\mathbf{k}_\perp, z) \otimes \delta \hat{\varepsilon}^*(\mathbf{k}_\perp, z') \rangle = S_\perp \widehat{G}(\mathbf{k}_\perp; z, z')$, где S_\perp — площадь поперечного сечения образца, находим соответствующую величину в формуле (3.24), определяющую интенсивность однократного рассеяния:

$$\begin{aligned} \left\langle \left| \mathbf{e}^{(s)} \cdot \mathbf{E}_{out}^{(s)}(\mathbf{k}_\perp^{(s)}, L) \right|^2 \right\rangle &= k_0^4 S_\perp e_\alpha^{(s)} e_\gamma^{(s)} \times \\ &\times M_{\alpha\beta}^{in \rightarrow out}(\mathbf{k}_\perp^{(s)}, L) M_{\gamma\delta}^{in \rightarrow out}(\mathbf{k}_\perp^{(s)}, L) \times \\ &\times \int_0^L dz_1 \int_0^L dz_2 T_{\beta\rho}^0(\mathbf{k}_\perp^{(s)}; L, z_1) T_{\delta\varphi}^{0*}(\mathbf{k}_\perp^{(s)}; L, z_2) \times \\ &\times \mathcal{G}_{\rho\nu\varphi\mu}(\mathbf{k}_\perp^{(s)} - \mathbf{k}_\perp^{(i)}; z_1, z_2) \mathcal{E}_\nu^{(i)}(\mathbf{k}_\perp^{(i)}, z_1) \times \\ &\times \mathcal{E}_\mu^{(i)*}(\mathbf{k}_\perp^{(i)}, z_2). \end{aligned} \quad (3.30)$$

Здесь для простоты опущены матрицы пересчета $\widehat{M}^{out \rightarrow in}(\mathbf{k}_\perp^{(i)}, 0)$, позволяющие выразить поле внутри среды через поле, падающее на образец.

4. ОПТИКА ХЖК С БОЛЬШИМ ШАГОМ СПИРАЛИ

Рассмотрим задачу о распространении волн в ХЖК. Для наших целей удобнее вместо волнового уравнения (2.7) рассматривать непосредственно систему уравнений Максвелла (2.4) в равновесном ХЖК. С учетом соотношений $\text{div } \hat{\varepsilon}^0 \mathbf{E} = 0$ и $\text{div } \mathbf{H} = 0$ в (\mathbf{q}, z) -представлении задача сводится к системе уравнений вида

$$\begin{aligned} \frac{\partial}{\partial \xi} \begin{pmatrix} E_x \\ E_y \\ H_x \\ -H_y \end{pmatrix} &= \\ &= -i\Omega \begin{pmatrix} 0 & 0 & 0 & 1 - q^2/k_0^2 \varepsilon_\perp \\ 0 & 0 & 1 & 0 \\ \varepsilon_{xy}^0(\xi) & \varepsilon_{yy}^0(\xi) - q^2/k_0^2 & 0 & 0 \\ \varepsilon_{xx}^0(\xi) & \varepsilon_{xy}^0(\xi) & 0 & 0 \end{pmatrix} \times \\ &\times \begin{pmatrix} E_x \\ E_y \\ H_x \\ -H_y \end{pmatrix}, \end{aligned} \quad (4.1)$$

где $\xi = p_0 z$ — безразмерная переменная, $\Omega = k_0/p_0 = 2d/\lambda$ — безразмерный параметр, λ — длина волны света. Оси координат x и y выбраны

так же, как и в (2.27), т.е. направление оси x совпадает с направлением вектора \mathbf{q} . Компоненты тензора диэлектрической проницаемости имеют, согласно (2.2), (2.3), вид

$$\begin{aligned} \varepsilon_{xx}^0 &= \varepsilon_{\perp} + \varepsilon_a \cos^2 \phi, & \varepsilon_{xy}^0 &= \varepsilon_a \sin \phi \cos \phi, \\ \varepsilon_{yy}^0 &= \varepsilon_{\perp} + \varepsilon_a \sin^2 \phi. \end{aligned}$$

Поскольку в этом разделе мы рассматриваем только равновесный ХЖК, мы опустили верхний индекс «0» у компонент поля $\mathbf{E}(\mathbf{r})$ (так же, как и ниже у компонент поля точечного источника $\widehat{T}(\mathbf{r}, \mathbf{r}')$).

Для описания распространения волн в ХЖК система типа (4.1) использовалась в работе [41]. Там аналогичная система численно решалась для случая $\lambda \sim d$. В нашем случае, когда $\lambda \ll d$ ($\Omega \gg 1$), прямые численные методы решения неэффективны из-за быстроосциллирующего характера решения и для построения решения лучше использовать векторное обобщение метода ВКБ.

4.1. Нормальные волны

Асимптотическое ВКБ-решение системы (4.1) получено в [29]. Согласно [29] в ХЖК с большим шагом спирали для данного \mathbf{q} существуют четыре нормальные волны. Две из них распространяются в сторону положительных z , а две другие — в сторону отрицательных z . Восстанавливая компоненты E_z из уравнения $\text{div } \hat{\varepsilon}^0 \mathbf{E} = 0$, эти волны можно записать в виде

$$\begin{aligned} \mathbf{E}_{\pm}^{(j)}(\mathbf{r}) &= E_0^{(j)} A^{(j)}(\mathbf{q}; z, z_0) \mathbf{e}^{(j)}(\mathbf{q}, z) \times \\ &\times \exp \left(i \mathbf{q} \cdot \mathbf{r}_{\perp} \pm i \int_{z_0}^z k_z^{(j)}(\mathbf{q}, z') dz' \right), \end{aligned} \quad (4.2)$$

где $j = 1, 2$, а знаки \pm соответствуют направлению распространения волны. Постоянные $E_0^{(j)}$ характеризуют начальную амплитуду поля на плоскости z_0 . Здесь $k_z^{(j)}(\mathbf{q}, z) \sim k_0$, $\mathbf{e}^{(j)}(\mathbf{q}, z)$ — единичные векторы, а $A^{(j)}(\mathbf{q}; z, z_0)$ — амплитудные множители. Причем все эти величины — плавно меняющиеся на масштабе λ функции. Поэтому волны (4.2) локально являются плоскими с волновыми векторами $\mathbf{k}^{(j)}(\mathbf{q}, z) = (\mathbf{q}, \pm k_z^{(j)}(\mathbf{q}, z))$ и векторами поляризации $\mathbf{e}^{(j)}(\mathbf{q}, z)$. В главном порядке по большому параметру Ω

$$\begin{aligned} k_z^{(1)}(\mathbf{q}, z) &\equiv k_z^{(1)}(q) = \sqrt{\varepsilon_{\perp} k_0^2 - q^2}, \\ k_z^{(2)}(\mathbf{q}, z) &= \sqrt{\varepsilon_{\parallel} k_0^2 - q^2 - \frac{\varepsilon_a}{\varepsilon_{\perp}} (\mathbf{q} \cdot \mathbf{n}^0(z))^2}, \end{aligned} \quad (4.3)$$

$$\begin{aligned} A^{(1)}(\mathbf{q}; z, z_0) &= 1, & A^{(2)}(\mathbf{q}; z, z_0) &= \\ &= \sqrt{\frac{\varepsilon_{\perp}^2 k_0^2 + \varepsilon_a (\mathbf{q} \cdot \mathbf{n}^0(z))^2}{\varepsilon_{\perp}^2 k_0^2 + \varepsilon_a (\mathbf{q} \cdot \mathbf{n}^0(z_0))^2}} \sqrt{\frac{k_z^{(2)}(\mathbf{q}, z_0)}{k_z^{(2)}(\mathbf{q}, z)}}, \end{aligned} \quad (4.4)$$

а векторы поляризации $\mathbf{e}^{(j)}(\mathbf{q}, z)$ в использованной выше системе координат имеют вид

$$\begin{aligned} \mathbf{e}^{(1)}(\mathbf{q}, z) &= \frac{1}{\sqrt{k_0^2 \varepsilon_{\perp} - q^2 \cos^2 \phi}} \times \\ &\times \left(k_z^{(1)} \sin \phi, -k_z^{(1)} \cos \phi, -q \sin \phi \right), \\ \mathbf{e}^{(2)}(\mathbf{q}, z) &= \frac{\sqrt{\varepsilon_{\perp}}}{\sqrt{(k_0^2 \varepsilon_{\perp} - q^2 \cos^2 \phi)(k_0^2 \varepsilon_{\perp}^2 + \varepsilon_a q^2 \cos^2 \phi)}} \times \\ &\times \left((k_0^2 \varepsilon_{\perp} - q^2) \cos \phi, k_0^2 \varepsilon_{\perp} \sin \phi, -q k_z^{(2)} \cos \phi \right). \end{aligned} \quad (4.5)$$

Так как векторы $\mathbf{e}^{(j)}(\mathbf{q}, z)$ в (4.5) вещественны, волны (4.2) в главном порядке по Ω локально являются линейно-поляризованными²⁾.

Величины $A^{(j)}(\mathbf{q}; z, z_0)$ в (4.4), можно записать в виде

$$A^{(j)}(\mathbf{q}; z, z_0) = \frac{B^{(j)}(\mathbf{q}, z)}{B^{(j)}(\mathbf{q}, z_0)}, \quad (4.6)$$

где

$$\begin{aligned} B^{(1)}(\mathbf{q}, z) &\equiv B^{(1)}(q) = \sqrt{\frac{k_0}{k_z^{(1)}(q)}}, \\ B^{(2)}(\mathbf{q}, z) &= \frac{\sqrt{\varepsilon_{\perp}^2 k_0^2 + \varepsilon_a (\mathbf{q} \cdot \mathbf{n}^0(z))^2}}{\varepsilon_{\perp} \sqrt{k_0 k_z^{(2)}(\mathbf{q}, z)}}. \end{aligned} \quad (4.7)$$

Формулы (4.2)–(4.7) имеют внешне достаточный формальный характер. Физический смысл волн $\mathbf{E}^{(j)}(\mathbf{r})$ станет яснее, если мы обратим внимание, что векторы поляризации $\mathbf{e}^{(j)}(\mathbf{q}, z)$ в (4.5) удовлетворяют условиям

$$\begin{aligned} \mathbf{e}^{(1)}(\mathbf{q}, z) &\perp \mathbf{n}^0(z), & \mathbf{e}^{(1)}(\mathbf{q}, z) &\perp \mathbf{k}^{(1)}(\mathbf{q}, z), \\ \hat{\varepsilon}^0(z) \mathbf{e}^{(2)}(\mathbf{q}, z) &\perp \mathbf{k}^{(2)}(\mathbf{q}, z), \end{aligned} \quad (4.8)$$

и вектор $\mathbf{e}^{(2)}(\mathbf{q}, z)$ лежит в плоскости векторов $\mathbf{k}^{(2)}(\mathbf{q}, z)$ и $\mathbf{n}^0(z)$. Заметим также, что согласно (4.3) волновые числа

$$k^{(j)}(\mathbf{q}, z) = \sqrt{q^2 + k_z^{(j)2}(\mathbf{q}, z)}$$

²⁾ В следующем порядке по большому параметру в $\mathbf{e}^{(j)}(\mathbf{q}, z)$ появляется мнимая добавка и волны (4.2) становятся, таким образом, слабо эллиптически-поляризованными [31] (ср. также с формулой (П.12) в Приложении).

этих волн удовлетворяют соотношениям

$$\begin{aligned} k^{(1)2}(\mathbf{q}, z) &= k_0^2 \varepsilon_{\perp}, \\ k^{(2)2}(\mathbf{q}, z) &= k_0^2 \frac{\varepsilon_{\perp} \varepsilon_{\parallel}}{\varepsilon_{\perp} + \varepsilon_a \cos^2 \theta}, \end{aligned} \quad (4.9)$$

где θ — угол между $\mathbf{n}^0(z)$ и $\mathbf{k}^{(2)}(\mathbf{q}, z)$ (здесь следует иметь в виду, что второе из этих равенств представляет собой уравнение для $k^{(2)}(\mathbf{q}, z)$, так как

$$\begin{aligned} \cos \theta &= \mathbf{n}^0(z) \cdot \mathbf{k}^{(2)}(\mathbf{q}, z) / k^{(2)}(\mathbf{q}, z) = \\ &= q \cos \phi(z) / k^{(2)}(\mathbf{q}, z). \end{aligned}$$

Сравнивая формулы (4.8), (4.9) с обычными формулами для поляризаций и волновых чисел нормальных волн в однородной одноосной анизотропной среде [37], мы видим, что две волны (4.2)–(4.5) локально являются обыкновенной (индекс (1)) и необыкновенной (индекс (2)) волнами в данной точке ХЖК.

Таким образом, формулы (4.2)–(4.5) соответствуют адиабатическому режиму распространения волн. Их можно рассматривать как обобщение известного решения Могена [24] на случай наклонного падения. Физический смысл этих формул состоит в следующем. При падении на плоскость $z = z_0$ нормальной волны с номером j за счет пробега в среде волна наберет фазу $\int_{z_0}^z k_z^{(j)}(\mathbf{q}, z') dz'$, и попадет на плоскость z как нормальная волна с тем же номером j . При этом в силу отличия $\mathbf{e}^{(j)}(\mathbf{q}, z)$ от $\mathbf{e}^{(j)}(\mathbf{q}, z_0)$ вектор поляризации волны повернется. Появление же зависимости от z амплитудных множителей $A^{(j)}(\mathbf{q}, z)$ в (4.4) связано с обеспечением сохранения энергии для волны в неоднородной среде без поглощения (см. ниже (4.11)–(4.14)).

Волновой вектор $\mathbf{k}^{(j)}(\mathbf{q}, z)$ в данной точке ХЖК направлен вдоль нормали к волновому фронту. При этом для обыкновенного луча волновой вектор волны $\mathbf{k}^{(1)} = \mathbf{k}^{(1)}(q)$ не зависит от точки z , а для необыкновенного луча волновой вектор $\mathbf{k}^{(2)} = \mathbf{k}^{(2)}(\mathbf{q}, z)$ меняется в зависимости от z по величине и направлению. В то же время векторы поляризации $\mathbf{e}^{(j)}(\mathbf{q}, z)$ меняются по направлению вместе с z для обоих типов волн. Однако в любом случае при фиксированном значении \mathbf{q} волновой вектор $\mathbf{k}^{(j)}(\mathbf{q}, z)$ всегда лежит в одной плоскости (содержащей векторы \mathbf{q} и \mathbf{e}_z) как для обыкновенного, так и для необыкновенного луча.

Траектория распространения луча в анизотропной среде характеризуется соответствующим лучевым вектором волны, направленным вдоль векто-

ра Пойнтинга, который для плоской волны в анизотропной среде имеет вид [37]

$$\mathbf{S}(\mathbf{r}) = \frac{c}{8\pi k_0} \left[\mathbf{k} |E|^2 - \mathbf{E} (\mathbf{E}^* \cdot \mathbf{k}) \right]. \quad (4.10)$$

Для волн (4.2) получаем, в частности,

$$\begin{aligned} \mathbf{S}^{(j)}(\mathbf{r}) &= \frac{c |E_0^{(j)}|^2}{8\pi k_0} A^{(j)2}(\mathbf{q}, z) \left[\mathbf{k}^{(j)}(\mathbf{q}, z) - \right. \\ &\quad \left. - \mathbf{e}^{(j)}(\mathbf{q}, z) \left(\mathbf{k}^{(j)}(\mathbf{q}, z) \cdot \mathbf{e}^{(j)}(\mathbf{q}, z) \right) \right]. \end{aligned} \quad (4.11)$$

Поскольку $\mathbf{e}^{(1)} \cdot \mathbf{k}^{(1)} = 0$, то $\mathbf{S}^{(1)}(\mathbf{q}, z) \parallel \mathbf{k}^{(1)}(q)$ и обыкновенный луч имеет прямолинейную траекторию. В то же время, в общем случае, $\mathbf{e}^{(2)} \cdot \mathbf{k}^{(2)} \neq 0$, и, как показывает анализ выражения (4.11), вектор $\mathbf{S}^{(2)}(\mathbf{q}, z)$ при изменении z не остается в одной плоскости. Поэтому траектория необыкновенного луча, касательная в каждой точке которой должна быть параллельна $\mathbf{S}^{(j)}(\mathbf{r})$ в этой точке, не лежит в одной плоскости. На рис. 3 показана типичная траектория необыкновенного луча, рассчитанная на основе формулы (4.11).

Проанализируем следствия закона сохранения энергии $\text{div} \mathbf{S}^{(j)} = 0$ для волн (4.2). В нашем случае имеем $\text{div} \mathbf{S}^{(j)} = \partial_z S_z^{(j)}(\mathbf{q}, z) = 0$. Поэтому компонента $S_z^{(j)}(\mathbf{q}, z)$ не зависит от z . Тогда из (4.11) получаем

$$\begin{aligned} A^{(j)2}(\mathbf{q}, z) &= C_0^{(j)}(\mathbf{q}) k_0 \left[k_z^{(j)}(\mathbf{q}, z) - \right. \\ &\quad \left. - e_z^{(j)}(\mathbf{q}, z) (\mathbf{k}^{(j)}(\mathbf{q}, z) \cdot \mathbf{e}^{(j)}(\mathbf{q}, z)) \right]^{-1}, \end{aligned} \quad (4.12)$$

где $C_0^{(j)}$ — произвольные безразмерные функции \mathbf{q} . Из (4.5) находим

$$\begin{aligned} \frac{k_z^{(j)} - e_z^{(j)} \mathbf{k}^{(j)} \cdot \mathbf{e}^{(j)}}{k_0} &= \\ &= \begin{cases} k_z^{(1)}(q) / k_0, & \text{при } j = 1, \\ \frac{k_z^{(2)}(\mathbf{q}, z) k_0 \varepsilon_{\perp}^2}{k_0^2 \varepsilon_{\perp}^2 + \varepsilon_a q^2 \cos^2 \phi(z)}, & \text{при } j = 2. \end{cases} \end{aligned} \quad (4.13)$$

Правая часть, согласно (4.7), совпадает с $1/B^{(j)2}(\mathbf{q}, z)$, и из (4.12) получаем

$$A^{(j)2}(\mathbf{q}, z) = C_0^{(j)}(\mathbf{q}) B^{(j)2}(\mathbf{q}, z). \quad (4.14)$$

Это выражение переходит в (4.6), если положить $C_0^{(j)}(\mathbf{q}) = 1/B^{(j)2}(\mathbf{q}, z_0)$. Последний выбор удобен тем, что в этом случае амплитуда $E_0^{(j)}$ в (4.2) не зависит от выбора начальной точки z_0 .

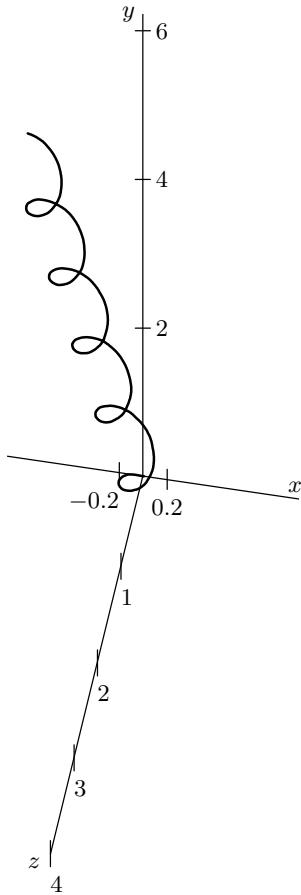


Рис. 3. Траектория необыкновенного луча в ХЖК. Расчет проведен для $\varepsilon_a = 2, 0$, $\varepsilon_{\parallel} = 2, 5$. Все расстояния даны в единицах d

Обсудим условия, при которых волны (4.2) могут распространяться в глубь ХЖК. Рассмотрим сначала обыкновенную волну. Заметим, что $k_z^{(1)}$ вещественно при условии $q^2 \leq k_0^2 \varepsilon_{\perp}$. При этом обыкновенная волна распространяется в область любых z . В случае $q^2 > k_0^2 \varepsilon_{\perp}$ величина $k_z^{(1)}$ становится мнимой и обыкновенная волна не распространяется в среде при всех z и z_0 .

Для необыкновенной волны условия распространения более сложные — они зависят от соотношения параметров q и z . Здесь возможны следующие ситуации.

- 1) Если $q^2 > k_0^2 \max(\varepsilon_{\parallel}, \varepsilon_{\perp})$, то $k_z^{(2)}(\mathbf{q}, z)$ будет мнимым при любых z и такая волна распространяться в ХЖК не будет.
- 2) В случае $q^2 \leq k_0^2 \min(\varepsilon_{\parallel}, \varepsilon_{\perp})$ величина $k_z^{(2)}(\mathbf{q}, z)$ вещественна при всех z и волна в среде распространяется в область любых z .
- 3) При условии $k_0^2 \min(\varepsilon_{\parallel}, \varepsilon_{\perp}) < q^2 < k_0^2 \max(\varepsilon_{\parallel}, \varepsilon_{\perp})$ где

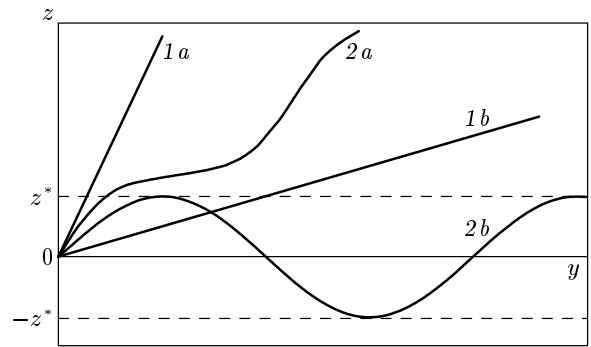


Рис. 4. Типы траекторий лучей в ХЖК: кривые 1a, 1b — обыкновенные лучи, кривая 2a — необыкновенный луч вне волнового канала, кривая 2b — необыкновенный луч, захваченный в волновом канале

необыкновенная волна может распространяться в среде только при определенных значениях z . Область соответствующих z определяется неравенством $\cos^2 \phi(z) \leq \varepsilon_{\perp}(k_0^2 \varepsilon_{\parallel} - q^2)/q^2 \varepsilon_a$ при $\varepsilon_a > 0$ и неравенством $\cos^2 \phi(z) \geq \varepsilon_{\perp}(k_0^2 \varepsilon_{\parallel} - q^2)/q^2 \varepsilon_a$ при $\varepsilon_a < 0$ (отметим, что в рассматриваемой области значений q выполнено условие $0 < \varepsilon_{\perp}(k_0^2 \varepsilon_{\parallel} - q^2)/q^2 \varepsilon_a < 1$).

Таким образом, в последнем случае возникает эффект захвата необыкновенного луча в ХЖК [31, 32]. Физическая картина эффекта состоит в том, что необыкновенный луч начинает поворачиваться и в некоторой точке $z = z^*(\mathbf{q})$ величина $k_z^{(2)}(\mathbf{q}, z)$ обратится в нуль, а затем сменит знак. В определенном смысле данный эффект аналогичен эффекту полного внутреннего отражения от некоторой плоскости внутри среды. Так как показатель преломления — периодическая функция, то такой луч будет попеременно отражаться от двух плоскостей, перпендикулярных оси z . Поэтому образуется плоский волновой канал, внутри которого необыкновенная волна может распространяться в область сколь угодно больших r_{\perp} , оставаясь в пределах одного периода по z . На рис. 4 схематически показаны проекции траекторий обыкновенного и необыкновенного лучей на плоскость yz , демонстрирующие эффект волноводного распространения.

4.2. Поле точечного источника

Соответствующая задача (2.8) для поля точечного источника $\hat{T}^0(\mathbf{q}; z, z_1)$ сводится к системе уравнений вида

$$\hat{\mathcal{L}}(z)\hat{T}^0(\mathbf{q}; z, z_1) = \delta(z - z_1)\hat{I}, \quad (4.15)$$

$$\widehat{\mathcal{L}}(z) = \begin{pmatrix} -\frac{\partial^2}{\partial z^2} - k_0^2 \varepsilon_{xx}^0 & -k_0^2 \varepsilon_{xy}^0 & iq \frac{\partial}{\partial z} \\ -k_0^2 \varepsilon_{xy}^0 & -\frac{\partial^2}{\partial z^2} + q^2 - k_0^2 \varepsilon_{yy}^0 & 0 \\ iq \frac{\partial}{\partial z} & 0 & q^2 - k_0^2 \varepsilon_{\perp} \end{pmatrix}$$

— линейный дифференциальный оператор второго порядка.

Решение этой системы получено нами в [32] векторным методом ВКБ. Построение решения базируется на методе работы [29] для однородного уравнения. Решение неоднородного уравнения (4.15) конструируется как суперпозиция решений (4.2) соответствующего однородного уравнения отдельно в двух областях $z > z_1$ и $z < z_1$ с подбором коэффициентов суперпозиции, обеспечивающих нужный характер особенности правой части (4.15). Результат [32] имеет вид

$$\widehat{T}^0(\mathbf{q}; z, z_1) = \widehat{T}^{(1)}(\mathbf{q}; z, z_1) + \widehat{T}^{(2)}(\mathbf{q}; z, z_1), \quad (4.16)$$

где

$$T_{\alpha\beta}^{(j)}(\mathbf{q}; z, z_1) = \frac{i}{2k_0} B^{(j)}(\mathbf{q}, z) B^{(j)}(\mathbf{q}, z_1) e_{\alpha}^{(j)}(\mathbf{q}, z) \times e_{\beta}^{(j)}(\mathbf{q}, z_1) \exp\left(i \int_{z_1}^z k_z^{(j)}(\mathbf{q}, z') dz'\right). \quad (4.17)$$

Проанализируем предел $p_0 \rightarrow 0$ в (4.17), который соответствует однородной одноосной ани-

зотропной среде (в нашем физическом контексте — нематическому жидкому кристаллу). Величины $\mathbf{n}^0(z)$, $k_z^{(j)}(\mathbf{q}, z)$, $B^{(j)}(\mathbf{q}, z)$, $\mathbf{e}^{(j)}(\mathbf{q}, z)$ в этом пределе перестают зависеть от координаты z : $\mathbf{n}^0(z) = \mathbf{n}^0$, $k_z^{(j)}(\mathbf{q}, z) = k_z^{(j)}(\mathbf{q})$, $B^{(j)}(\mathbf{q}, z) = B^{(j)}(\mathbf{q})$, $\mathbf{e}^{(j)}(\mathbf{q}, z) = \mathbf{e}^{(j)}(\mathbf{q})$, а функции $\widehat{T}^{(j)}(\mathbf{q}; z, z_1)$ становятся зависящими лишь от разности пространственных координат, $\widehat{T}^{(j)}(\mathbf{q}; z, z_1) = \widehat{T}^{(j)}(\mathbf{q}; z - z_1)$. Формула (4.17) тогда приобретает вид

$$T_{\alpha\beta}^{(j)}(\mathbf{q}; z - z_1) = \frac{i}{2k_0} B^{(j)2}(\mathbf{q}) e_{\alpha}^{(j)}(\mathbf{q}) e_{\beta}^{(j)}(\mathbf{q}) e^{ik_z^{(j)}(\mathbf{q})|z-z_1|}. \quad (4.18)$$

Выражение для поля точечного источника в однородной анизотропной среде в трехмерном фурье-представлении имеет вид [42]

$$T_{\alpha\beta}^0(\mathbf{Q}) = \frac{1}{k_0^2} \sum_{j=1,2} \frac{e_{(j)\alpha}(\mathbf{Q}) e_{(j)\beta}(\mathbf{Q})}{\mathbf{e}^{(j)}(\mathbf{Q}) \varepsilon^0 \mathbf{e}^{(j)}(\mathbf{Q})} \times \frac{k_{(j)}^2(\mathbf{Q})}{Q^2 - k_{(j)}^2(\mathbf{Q}) - i0} - \frac{Q_{\alpha} Q_{\beta}}{Q \varepsilon^0 \mathbf{Q}}. \quad (4.19)$$

Здесь \mathbf{Q} — трехмерный волновой вектор, $\mathbf{e}_{(j)}$ — векторы поляризации, а $k_{(j)}$ — волновые числа двух распространяющихся в однородной анизотропной среде плоских волн (обыкновенной и необыкновенной). Последний член в правой части (4.19) связан с ближним полем диполя и далее нас интересовать не будет. Для случая одноосной среды соответствующие векторы поляризации и волновые числа обыкновенной и необыкновенной волн имеют вид

$$\begin{aligned} e_{(1)}(\mathbf{Q}) &= \frac{\mathbf{Q} \times \mathbf{n}^0}{Q}, \quad k_{(1)}(\mathbf{Q}) = k_0 \sqrt{\varepsilon_{\perp}}, \\ e_{(2)}(\mathbf{Q}) &= \frac{\mathbf{n}^0(\mathbf{Q} \varepsilon^0 \mathbf{Q}) - \mathbf{Q}(\mathbf{Q} \varepsilon^0 \mathbf{n}^0)}{\sqrt{(\mathbf{Q} \varepsilon^0 \mathbf{Q})^2 - 2(\mathbf{Q} \varepsilon^0 \mathbf{Q})(\mathbf{Q} \varepsilon^0 \mathbf{n}^0)(\mathbf{Q} \cdot \mathbf{n}^0) + Q^2(\mathbf{Q} \varepsilon^0 \mathbf{n}^0)^2}}, \\ k_{(2)}(\mathbf{Q}) &= k_0 Q \sqrt{\frac{\varepsilon_{\perp} \varepsilon_{\parallel}}{\varepsilon_{\perp} Q^2 + \varepsilon_{\alpha}(\mathbf{Q} \cdot \mathbf{n}^0)^2}}. \end{aligned} \quad (4.20)$$

Запишем волновой вектор \mathbf{Q} в виде $\mathbf{Q} = (\mathbf{q}; q_z)$ и выполним в (4.19) по переменной q_z обратное преобразование Фурье

$$T_{\alpha\beta}^0(\mathbf{q}; z) = \int_{-\infty}^{\infty} \frac{dq_z}{2\pi} T_{\alpha\beta}^0(\mathbf{q}; q_z) e^{iq_z z}. \quad (4.21)$$

Главный вклад в асимптотику интеграла при $z \gg \lambda$ дается вычетами в полюсах первого порядка на двух дисперсионных поверхностях:

$$q^2 + q_z^2 - k_{(j)}^2(\mathbf{q}; q_z) = 0, \quad (4.22)$$

$j = 1, 2$. Обозначая два решения каждого дисперсионного уравнения относительно q_z как $q_z = \pm q_z^{(j)}(\mathbf{q})$, из (4.19) получаем

$$T_{\alpha\beta}^0(\mathbf{q}; z) = \frac{i}{k_0^2} \sum_{j=1,2} k_{(j)}^2 \left(2q_z - \frac{\partial k_{(j)}^2}{\partial q_z}\right)^{-1} \times \frac{e_{(j)\alpha} e_{(j)\beta}}{\mathbf{e}^{(j)} \varepsilon^0 \mathbf{e}^{(j)}} e^{iq_z^{(j)}|z|}, \quad (4.23)$$

где величины $\mathbf{e}^{(j)}$ и $k^{(j)}$ вычислены на волновом векторе $\mathbf{Q}^{(j)}(\mathbf{q}) \equiv (\mathbf{q}, q_z^{(j)}(\mathbf{q}))$.

Подставляя в (4.22) выражения (4.20) для $k_{(j)}^2(\mathbf{Q})$ и решая полученные уравнения для $j = 1, 2$ относительно q_z , получим в обоих случаях, что $q_z^{(j)} = k_z^{(j)}(\mathbf{q})$, где $k_z^{(j)}(\mathbf{q})$ определено в (4.3) (при $j = 2$ следует принять во внимание, что $\mathbf{Q} \cdot \mathbf{n}^0 = \mathbf{q} \cdot \mathbf{n}^0$). Таким образом, $\mathbf{Q}^{(j)}(\mathbf{q}) = (\mathbf{q}, k_z^{(j)}(\mathbf{q})) = \mathbf{k}^{(j)}(\mathbf{q})$. Как нетрудно проверить с помощью (4.20), величины $\mathbf{e}^{(j)}(\mathbf{k}^{(j)}(\mathbf{q}))$ и $k^{(j)}(\mathbf{k}^{(j)}(\mathbf{q}))$ при этом совпадают с $\mathbf{e}^{(j)}(\mathbf{q})$ и $k^{(j)}(\mathbf{q})$ в (4.3) и (4.5) при $p_0 = 0$. Также несложно проверяется тождество

$$\frac{k_z^{(j)}(\mathbf{q})B^{(j)2}(\mathbf{q})}{k_0} = \frac{k^{(j)2}(\mathbf{q})}{k_0^2 \mathbf{e}^{(j)}(\mathbf{q}) \hat{\varepsilon}^0 \mathbf{e}^{(j)}(\mathbf{q})} \times \left(q_z - \frac{1}{2} \frac{\partial k_{(j)}^2(\mathbf{q}, q_z)}{\partial q_z} \Big|_{q_z=k_z^{(j)}(\mathbf{q})} \right)^{-1} \quad (4.24)$$

для обоих случаев $j = 1, 2$. В результате (4.23) совпадает с (4.16), (4.17).

5. КОРРЕЛЯЦИОННАЯ ФУНКЦИЯ ФЛУКТУАЦИЙ ДИРЕКТОРА В ХЖК С БОЛЬШИМ ШАГОМ СПИРАЛИ

Задача (2.28) для оператора (2.27) — это неоднородная система двух дифференциальных уравнений второго порядка с периодическими коэффициентами. Решение соответствующей однородной системы удовлетворяет теореме Флоке [43], имея вид произведения двух матричных функций от z и z_1 : экспоненциальной (с показателем экспоненты линейным по z и z_1) и периодической с периодом $2d = 2\pi/p_0$. Для нахождения показателей экспонент и фурье-гармоник периодической функции обычно используется стандартная для уравнений типа Хилла расчетная схема [43], приводящая к бесконечной системе трехчленных рекуррентных соотношений. Применительно к изучению флуктуаций директора

в ХЖК подробный анализ проблемы на основе такого подхода был проведен в [20, 21]. В этих работах в предположении $q/p_0 \ll 1$, когда с ростом номеров гармоник Фурье их вклады быстро убывают, были найдены низшие гармоники трехмерного спектра Фурье корреляционной функции \hat{g} . С физической точки зрения предел $q/p_0 \rightarrow 0$ соответствует «смектикоподобному» ХЖК, что и подтверждается результатом [20]: главный вклад в корреляционную функцию

$$\hat{g}(\mathbf{q}, k_z) \sim q^2 / (k_z^2 + c_0 p_0^{-2} q^4),$$

где c_0 — безразмерная постоянная. Коррелятор именно такого вида характерен для флуктуаций директора в смектиках А [34].

Ситуация ХЖК с большим шагом спирали соответствует противоположному предельному случаю нематикоподобного ХЖК, когда $p_0/q \rightarrow 0$. Проблема с точки зрения обычного подхода Флоке здесь состоит в том, что главный вклад в корреляционную функцию вносит широкий спектр гармоник Фурье с большими номерами для периодических сомножителей. В такой ситуации методы, основанные на теории Флоке не эффективны, и представляется более перспективным метод ВКБ по большому параметру $q/p_0 \gg 1$.

5.1. Общая схема расчета корреляционной функции в средах с одномерными неоднородностями

Уравнение (2.28) вместе с условием убывания $\hat{G}(z, z_1)$ при $z \rightarrow \pm\infty$ представляет собой уравнение для функции Грина. Заметим, что при $z \neq z_1$ уравнение (2.28) становится однородным. Мы сначала решим однородные уравнения отдельно для случаев $z > z_1$ и $z < z_1$. Затем, используя условия непрерывности функции \hat{G} и скачка её производной при $z = z_1$, построим функцию Грина.

Система однородных уравнений имеет вид

$$\left[- \begin{pmatrix} K_{22} & 0 \\ 0 & K_{11} \end{pmatrix} \frac{d^2}{d\xi^2} + i\tilde{\Omega}(K_{11} - K_{22}) \sin \phi \begin{pmatrix} 0 & 1 \\ 1 & 0 \end{pmatrix} \frac{d}{d\xi} + \begin{pmatrix} \tilde{\Omega}^2(K_{11} \sin^2 \phi + K_{33} \cos^2 \phi) & -i\tilde{\Omega} \cos \phi (K_{22} + K_{33}) \\ i\tilde{\Omega} \cos \phi (K_{11} + K_{33}) & \tilde{\Omega}^2(K_{22} \sin^2 \phi + K_{33} \cos^2 \phi) + K_{33} \end{pmatrix} \right] \mathbf{u}(\xi) = 0, \quad (5.1)$$

где $\tilde{\Omega} = q/p_0$. Уравнение (5.1) представляет собой систему двух дифференциальных уравнений второго порядка. Эта система имеет четыре линейно независимых решения. Составим из четырех линейно независимых векторов-столбцов решений уравнения (5.1) две матрицы $\hat{u}_1(\xi)$ и $\hat{u}_2(\xi)$, такие что $\hat{u}_1(\xi) \rightarrow \hat{0}$ при $\xi \rightarrow +\infty$, а $\hat{u}_2(\xi) \rightarrow \hat{0}$ при $\xi \rightarrow -\infty$. Этот выбор обеспечит нам нужное поведение $\hat{G}(\xi, \xi_1)$ на бесконечности.

Будем искать функцию Грина в виде

$$\hat{G}(\xi, \xi_1) = \begin{cases} \hat{u}_1(\xi)\hat{v}_1(\xi_1) & \text{при } \xi \geq \xi_1, \\ \hat{u}_2(\xi)\hat{v}_2(\xi_1) & \text{при } \xi < \xi_1, \end{cases} \quad (5.2)$$

где \hat{v}_1 и \hat{v}_2 — матрицы размера 2×2 . Для нахождения восьми элементов этих матриц воспользуемся условиями для функции Грина в окрестности точки $\xi = \xi_1$. Эти условия представляют собой непрерывность самой функции и скачок ее первой производной такой, чтобы удовлетворить уравнению (2.28)

$$\begin{aligned} \hat{G}(\xi_1 + 0, \xi_1) &= \hat{G}(\xi_1 - 0, \xi_1), \\ \hat{K} \left(\left. \frac{\partial \hat{G}}{\partial \xi} \right|_{\xi=\xi_1-0} - \left. \frac{\partial \hat{G}}{\partial \xi} \right|_{\xi=\xi_1+0} \right) &= \frac{k_B T}{p_0} \hat{I}, \end{aligned} \quad (5.3)$$

где

$$\hat{K} = \begin{pmatrix} K_{22} & 0 \\ 0 & K_{11} \end{pmatrix}.$$

Подставляя (5.2) в (5.3), получаем систему восьми уравнений для элементов матриц $\hat{v}_{1,2}$:

$$\begin{cases} \hat{u}_1(\xi_1)\hat{v}_1(\xi_1) = \hat{u}_2(\xi_1)\hat{v}_2(\xi_1), \\ \hat{u}'_1(\xi_1)\hat{v}_1(\xi_1) - \hat{u}'_2(\xi_1)\hat{v}_2(\xi_1) = \\ = -k_B T p_0^{-1} \hat{K}^{-1}. \end{cases} \quad (5.4)$$

Формулу (5.4) нетрудно получить, проинтегрировав (2.28) по переменной z в бесконечно малом интервале, содержащем точку z_1 . Решая систему (5.4), получаем

$$\hat{v}_j = \frac{k_B T}{p_0} \hat{u}_j^{-1} \hat{w} \hat{K}^{-1}, \quad (5.5)$$

где $\hat{w}(\xi) = (\hat{u}'_2(\xi)\hat{u}_2^{-1}(\xi) - \hat{u}'_1(\xi)\hat{u}_1^{-1}(\xi))^{-1}$, $j = 1, 2$.

Подставляя (5.5) в (5.2), окончательно находим для функции Грина

$$\begin{aligned} \hat{G}(\xi, \xi_1) &= k_B T p_0^{-1} \times \\ &\times \begin{cases} \hat{u}_1(\xi)\hat{u}_1^{-1}(\xi_1)\hat{w}(\xi_1)\hat{K}^{-1} & \text{при } \xi \geq \xi_1, \\ \hat{u}_2(\xi)\hat{u}_2^{-1}(\xi_1)\hat{w}(\xi_1)\hat{K}^{-1} & \text{при } \xi < \xi_1. \end{cases} \end{aligned} \quad (5.6)$$

Выбор матриц \hat{u}_1 и \hat{u}_2 неоднозначен (например, их столбцы могут быть умножены на произвольные константы), однако эта неоднозначность в формуле (5.6) исчезает за счет множителей \hat{w} .

Обратим внимание, что $\hat{G}(\xi, \xi_1) \rightarrow 0$ при $|\xi - \xi_1| \rightarrow \infty$ в силу нашего выбора матриц $\hat{u}_{1,2}$, т. е. граничные условия для \hat{G} выполнены.

Данная схема построения функции Грина при помощи решений однородного уравнения является общей и не требует использования большого параметра $\tilde{\Omega}$.

5.2. Применение метода ВКБ для нахождения корреляционной функции

Наличие большого параметра в нашей задаче мы используем для явного построения решений \mathbf{u} однородного уравнения (5.1). Эти решения найдем векторным методом ВКБ. Вводя вектор

$$\mathbf{v} = \frac{1}{i\tilde{\Omega}} \frac{d\mathbf{u}}{d\xi},$$

приведем (5.1) к системе четырех уравнений первого порядка:

$$\frac{d\Psi}{d\xi} = (i\tilde{\Omega}\hat{B} + \hat{C}) \Psi. \quad (5.7)$$

Здесь мы использовали следующие обозначения:

$$\begin{aligned} \Psi &= \begin{pmatrix} \mathbf{u} \\ \mathbf{v} \end{pmatrix}, \quad \hat{B} = \begin{pmatrix} 0 & 0 & 1 & 0 \\ 0 & 0 & 0 & 1 \\ b_1 & 0 & 0 & b_3 \\ 0 & b_2 & b_4 & 0 \end{pmatrix}, \\ \hat{C} &= \begin{pmatrix} 0 & 0 & 0 & 0 \\ 0 & 0 & 0 & 0 \\ 0 & c_1 & 0 & 0 \\ c_2 & c_3 & 0 & 0 \end{pmatrix}, \end{aligned} \quad (5.8)$$

где

$$b_1 = -\frac{K_{11} \sin^2 \phi + K_{33} \cos^2 \phi}{K_{22}},$$

$$b_2 = -\frac{K_{22} \sin^2 \phi + K_{33} \cos^2 \phi}{K_{11}},$$

$$b_3 = \left(\frac{K_{11}}{K_{22}} - 1 \right) \sin \phi,$$

$$b_4 = \left(1 - \frac{K_{22}}{K_{11}} \right) \sin \phi,$$

$$c_1 = -\left(1 + \frac{K_{33}}{K_{22}} \right) \cos \phi,$$

$$c_2 = \left(1 + \frac{K_{33}}{K_{11}}\right) \cos \phi, \\ c_3 = -i \frac{1}{\tilde{\Omega}} \frac{K_{33}}{K_{11}}.$$

Решение системы (5.7) можно записать в виде

$$\Psi(\xi) = \widehat{M}(\xi, \xi_0) \Psi(\xi_0), \quad (5.9)$$

где $\widehat{M}(\xi, \xi_0)$ — матрица эволюции этой системы, $\widehat{M}(\xi_0, \xi_0) = \widehat{I}$. Мы найдем матрицу эволюции в главном порядке по параметру $\tilde{\Omega}$.

Процедура построения матрицы эволюции приведена в Приложении. Согласно (П.17) имеем

$$\widehat{M}(\xi, \xi_0) \approx \widehat{U}(\xi) \widehat{\text{diag}} \left\{ \exp \left[- \int_{\xi_0}^{\xi} \left(\tilde{\Omega} \mu_l(x) + \left(\widehat{U}^{-1}(x) \frac{\partial \widehat{U}(x)}{\partial x} - \widehat{U}^{-1}(x) \widehat{C}(x) \widehat{U}(x) \right)_u dx \right) \right] \right\} \times \widehat{U}^{-1}(\xi_0), \quad (5.10)$$

где $i\mu_l$ — собственные значения матрицы \widehat{B} ($l = 1-4$), а столбцы матрицы \widehat{U} — собственные векторы матрицы \widehat{B} . Здесь используется обозначение $\widehat{\text{diag}}(x_l)$ для диагональной матрицы с элементами x_1, x_2, \dots на диагонали. Обратим внимание, что выражение (5.10) неприменимо, если собственные значения матрицы \widehat{B} сближаются. Как видно из выражения (П.15), V_{lm} при этом становится большим и условие применимости метода ВКБ $|V_{lm}| \ll \tilde{\Omega}$ (П.18) может нарушаться.

Формула (5.10) дает решение уравнения (5.7) при любых начальных условиях $\Psi(\xi_0)$. Это решение можно рассматривать как линейную комбинацию четырех линейно независимых векторов, представляющих собой столбцы матрицы эволюции $\widehat{M}(\xi, \xi_0)$, с четырьмя коэффициентами — элементами вектора $\Psi(\xi_0)$.

Для построения функции Грина нам нужны решения \mathbf{u} , которые представляют собой первые две компоненты решения $\Psi(\xi)$. В качестве столбцов матриц $\hat{u}_{1,2}(\xi)$ можно использовать векторы, компонентами которых являются первые два элемента столбцов матрицы $\widehat{M}(\xi, \xi_0) \widehat{U}(\xi_0)$ или линейные комбинации этих столбцов.

Найдем сначала матрицу эволюции $\widehat{M}(\xi, \xi_0)$ (5.10). Для этого нам необходимы собственные значения и собственные векторы матрицы \widehat{B} . Собственные значения определяются из соотношения

$$\det(\widehat{B} - i\mu\widehat{I}) = 0, \quad (5.11)$$

которое представляет собой биквадратное уравнение. Решение этого уравнения дает

$$\mu_l(\xi) = \sqrt{\sin^2 \phi(\xi) + \frac{K_{33}}{K_{11}} \cos^2 \phi(\xi)}, \\ l = 1, 2, \\ \mu_3 = -\mu_1, \quad \mu_4 = -\mu_2.$$

Собственные векторы ψ_l удовлетворяют соотношению $\widehat{B}\psi_l = i\mu_l\psi_l$. Найдем эти векторы и составим из них матрицу $\widehat{U}(\xi) = (\psi_1(\xi), \psi_2(\xi), \psi_3(\xi), \psi_4(\xi))$:

$$\widehat{U} = \begin{pmatrix} -i\mu_1^{-1} \sin \phi & 1 & i\mu_1^{-1} \sin \phi & -1 \\ -1 & -i\mu_2^{-1} \sin \phi & -1 & -i\mu_2^{-1} \sin \phi \\ \sin \phi & i\mu_2 & \sin \phi & i\mu_2 \\ -i\mu_1 & \sin \phi & i\mu_1 & -\sin \phi \end{pmatrix}. \quad (5.13)$$

При выборе векторов $\psi_l(\xi)$, а следовательно, и матрицы $\widehat{U}(\xi)$, имеется произвол, связанный с нормировочными множителями, причем эти множители могут зависеть от ξ . Нетрудно показать, однако, что правая часть выражения (5.10) не зависит от выбора нормировок векторов $\psi_l(\xi)$. Далее найдем матрицу $\widehat{U}^{-1}(\xi)$:

$$\widehat{U}^{-1} = \frac{-1}{2K_{33} \cos^2 \phi} \begin{pmatrix} iK_{11}\mu_1 \sin \phi & K_{22}\mu_2^2 & K_{22} \sin \phi & -iK_{11}\mu_1 \\ -K_{11}\mu_1^2 & iK_{22}\mu_2 \sin \phi & iK_{22}\mu_2 & K_{11} \sin \phi \\ -iK_{11}\mu_1 \sin \phi & K_{22}\mu_2^2 & K_{22} \sin \phi & iK_{11}\mu_1 \\ K_{11}\mu_1^2 & iK_{22}\mu_2 \sin \phi & iK_{22}\mu_2 & -K_{11} \sin \phi \end{pmatrix}. \quad (5.14)$$

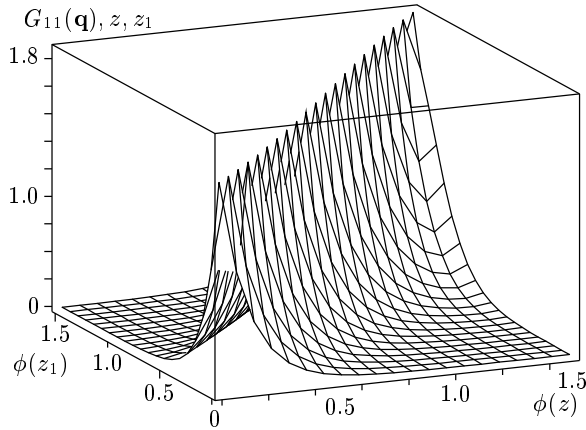


Рис. 5. Компонента корреляционной функции ХЖК $G_{11}(\mathbf{q}; z, z_1)$, выраженная в относительных единицах, в зависимости от координат двух точек, z и z_1

Пренебрегая в матрице \hat{C} (5.8) членом порядка $1/\tilde{\Omega}$ (т. е. элементом c_3), поскольку он не вносит вклада в матрицу эволюции в используемом нами приближении (5.10), получим

$$\left(\hat{U}^{-1}\hat{C}\hat{U}\right)_{ll} = \frac{(K_{11} - K_{22}) \sin \phi}{2K_{33} \cos \phi} (-1)^{l+1}, \quad (5.15)$$

$$l = 1, \dots, 4.$$

Диагональные элементы матрицы $\hat{U}^{-1}\partial\hat{U}/\partial\xi$ можно представить в виде, удобном для интегрирования:

$$\left(\hat{U}^{-1}\frac{\partial\hat{U}}{\partial\xi}\right)_{ll} = \frac{1}{2} \frac{(\cos \phi / \mu_l)'}{\cos \phi / \mu_l} + \frac{1}{2} \frac{(\cos \phi)'}{\cos \phi} - \frac{K_{11} - K_{22}}{2K_{33}} \frac{(\cos \phi)'}{\cos \phi} (-1)^{l+1}, \quad (5.16)$$

$l = 1, \dots, 4$. Вычитая (5.16) из (5.15) и интегрируя, получим

$$\int_{\xi_0}^{\xi} \left(\hat{U}^{-1}\hat{C}\hat{U} - \hat{U}^{-1}\frac{\partial\hat{U}}{\partial\xi'}\right)_{ll} d\xi' =$$

$$= -\frac{1}{2} \ln \frac{\mu_l(\xi_0) |\cos \phi|}{\mu_l(\xi) |\cos(\xi_0 + \phi_0)|} -$$

$$-\frac{1}{2} \ln \frac{|\cos \phi|}{|\cos(\xi_0 + \phi_0)|}. \quad (5.17)$$

Подставляя (5.17) в (5.10), имеем

$$\widehat{M}(\xi, \xi_0) = \widehat{U}(\xi) \frac{|\cos(\xi_0 + \phi_0)|}{|\cos \phi|} \times$$

$$\times \widehat{\text{diag}} \left\{ \sqrt{\frac{\mu_l(\xi)}{\mu_l(\xi_0)}} \exp \left(-\tilde{\Omega} \int_{\xi_0}^{\xi} \mu_l(\xi') d\xi' \right) \right\} \times$$

$$\times \widehat{U}^{-1}(\xi_0). \quad (5.18)$$

Для нахождения корреляционной функции надо построить матрицы $\hat{u}_1(\xi)$ и $\hat{u}_2(\xi)$. Выбирая первые две компоненты столбцов матрицы $\widehat{M}(\xi, \xi_0)\widehat{U}(\xi_0)$, имеющие требуемое поведение на бесконечности, получаем

$$\hat{u}_1(\xi) = \begin{pmatrix} -i\mu_1^{-1} \sin \phi & 1 \\ -1 & -i\mu_2^{-1} \sin \phi \end{pmatrix} \times$$

$$\times \exp(\hat{\Phi}_-), \quad (5.19)$$

$$\hat{u}_2(\xi) = \begin{pmatrix} i\mu_1^{-1} \sin \phi & -1 \\ -1 & -i\mu_2^{-1} \sin \phi \end{pmatrix} \times$$

$$\times \exp(\hat{\Phi}_+),$$

где

$$\exp(\hat{\Phi}_{\pm}) = \frac{|\cos(\xi_0 + \phi_0)|}{|\cos \phi|} \times$$

$$\times \widehat{\text{diag}} \left\{ \sqrt{\frac{\mu_l(\xi)}{\mu_l(\xi_0)}} \exp \left(\pm \tilde{\Omega} \int_{\xi_0}^{\xi} \mu_l(\xi') d\xi' \right) \right\},$$

$$l = 1, 2. \quad (5.20)$$

Таким образом, условия $\hat{u}_1(\xi) \rightarrow \hat{0}$ при $\xi \rightarrow +\infty$ и $\hat{u}_2(\xi) \rightarrow \hat{0}$ при $\xi \rightarrow -\infty$ выполнены для матриц (5.19).

Подставим матрицы $\hat{u}_{1,2}(\xi)$ из (5.19) в выражение для корреляционной функции (5.6). Пренебрегая во внеэкспоненциальных множителях членами порядка $1/\tilde{\Omega}$, получим

$$\begin{aligned} \widehat{G}(\xi, \xi_1) &= \frac{k_B T}{2qK_{33} \cos \phi(\xi_1) \cos \phi(\xi)} \times \\ &\times \begin{pmatrix} \text{sign}(\xi - \xi_1) \sin \phi(\xi) & i \text{sign}(\xi - \xi_1) \mu_2(\xi) \\ -i \mu_1(\xi) & \sin \phi(\xi) \end{pmatrix} \times \\ &\times \begin{pmatrix} \exp\left(-\tilde{\Omega} \left| \int_{\xi}^{\xi_1} \mu_1 d\xi' \right| \right) & 0 \\ \sqrt{\mu_1(\xi) \mu_1(\xi_1)} & \\ 0 & \exp\left(-\tilde{\Omega} \left| \int_{\xi}^{\xi_1} \mu_2 d\xi' \right| \right) \\ & \sqrt{\mu_2(\xi) \mu_2(\xi_1)} \end{pmatrix} \times \\ &\times \begin{pmatrix} \text{sign}(\xi_1 - \xi) \sin \phi(\xi_1) & i \mu_1(\xi_1) \\ i \text{sign}(\xi_1 - \xi) \mu_2(\xi_1) & -\sin \phi(\xi_1) \end{pmatrix}. \end{aligned} \quad (5.21)$$

Функцию \widehat{G} удобно разбить на две части, связанные с двумя показателями μ_1 и μ_2 . Возвращаясь от безразмерной переменной ξ к переменной z , имеем окончательно

$$\widehat{G}(\mathbf{q}; z_1, z_2) = \widehat{G}_1(\mathbf{q}; z_1, z_2) + \widehat{G}_2(\mathbf{q}; z_1, z_2), \quad (5.22)$$

где

$$\begin{aligned} \widehat{G}_j(\mathbf{q}; z_1, z_2) &= \frac{k_B T}{2qK_{33} \cos \phi(z_1) \cos \phi(z_2)} \times \\ &\times \exp\left(-q \left| \int_{z_1}^{z_2} \mu_j(z) dz \right| \right) \widehat{W}^{(j)}(\mathbf{q}; z_1, z_2), \end{aligned} \quad (5.23)$$

$$\begin{aligned} \widehat{W}^{(1)}(\mathbf{q}; z_1, z_2) &= \\ &= \begin{pmatrix} -\frac{\sin \phi(z_1) \sin \phi(z_2)}{\sqrt{\mu_1(z_1) \mu_1(z_2)}} & i \text{sign}(z_1 - z_2) \sin \phi(z_1) \frac{\sqrt{\mu_1(z_2)}}{\sqrt{\mu_1(z_1)}} \\ i \text{sign}(z_1 - z_2) \sin \phi(z_2) \frac{\sqrt{\mu_1(z_1)}}{\sqrt{\mu_1(z_2)}} & \sqrt{\mu_1(z_1) \mu_1(z_2)} \end{pmatrix}, \\ \widehat{W}^{(2)}(\mathbf{q}; z_1, z_2) &= \\ &= \begin{pmatrix} \sqrt{\mu_2(z_1) \mu_2(z_2)} & -i \text{sign}(z_1 - z_2) \sin \phi(z_2) \frac{\sqrt{\mu_2(z_1)}}{\sqrt{\mu_2(z_2)}} \\ -i \text{sign}(z_1 - z_2) \sin \phi(z_1) \frac{\sqrt{\mu_2(z_2)}}{\sqrt{\mu_2(z_1)}} & -\frac{\sin \phi(z_1) \sin \phi(z_2)}{\sqrt{\mu_2(z_1) \mu_2(z_2)}} \end{pmatrix}. \end{aligned} \quad (5.24)$$

Здесь $\cos \phi = \mathbf{q} \cdot \mathbf{n}_0 / q$, $\sin \phi = \sqrt{q^2 - (\mathbf{q} \cdot \mathbf{n}_0)^2} / q$.

На рис. 5 показана компонента G_{11} корреляционной функции, выраженная в относительных единицах. Рисунок получен в результате численных расчетов по формулам (5.22)–(5.24). Корреляции убывают экспоненциально с увеличением расстояния $|z - z_1|$. Обратим также внимание на рост корреляций при $z = z_1$ по мере приближения $\phi(z)$ к $\pi/2$. Последнее определяется приближением к нулю величин $\cos \phi(z_{1,2})$ в знаменателе общего множителя (5.23). Это характеризует приближение к области, где метод ВКБ неприменим и формула (5.27) несправедлива. Мы обсудим этот вопрос подробнее в конце данного раздела.

Матрицы $\widehat{W}^{(j)}(\mathbf{q}; z_1, z_2)$ можно записать в виде

$$W_{\alpha\beta}^{(j)}(\mathbf{q}; z_1, z_2) = \ell_{\alpha}^{(j)}(\mathbf{q}; z_1, z_2) \ell_{\beta}^{(j)*}(\mathbf{q}; z_2, z_1), \quad (5.25)$$

где

$$\begin{aligned} \ell^{(1)}(\mathbf{q}; z, z') &= \\ &= \left(i \text{sign}(z - z') \frac{\sin \phi(z)}{\sqrt{\mu_1(z)}}, \sqrt{\mu_1(z)} \right), \\ \ell^{(2)}(\mathbf{q}; z, z') &= \\ &= \left(\sqrt{\mu_2(z)}, -i \text{sign}(z - z') \frac{\sin \phi(z)}{\sqrt{\mu_2(z)}} \right). \end{aligned} \quad (5.26)$$

Из формул (2.19), (2.20), (5.22)–(5.26), выполнив суммирование по k и l в (2.20), получаем итоговое выражение для корреляционной функции флуктуаций директора

$$g_{\alpha\beta}(\mathbf{q}; z_1, z_2) = \frac{k_B T}{2qK_{33} \cos \phi(z_1) \cos \phi(z_2)} \times \sum_{j=1}^2 \exp \left(-q \left| \int_{z_1}^{z_2} \mu_j(z) dz \right| \right) \times f_{\alpha}^{(j)}(\mathbf{q}; z_1, z_2) f_{\beta}^{(j)*}(\mathbf{q}; z_2, z_1), \quad (5.27)$$

где $\mathbf{f}^{(j)}(\mathbf{q}; z, z') = \sum_{k=1,2} \ell_k^{(j)}(\mathbf{q}; z, z') \mathbf{h}^{(k)}(z)$. В используемой нами системе координат векторы $\mathbf{f}^{(j)}$ имеют вид

$$\mathbf{f}^{(1)}(\mathbf{q}; z, z') = \frac{1}{\sqrt{\mu_1(z)}} \left(-i \operatorname{sign}(z - z') \sin^2 \phi(z), \frac{i}{2} \operatorname{sign}(z - z') \sin 2\phi(z), \mu_1(z) \right), \quad (5.28)$$

$$\mathbf{f}^{(2)}(\mathbf{q}; z, z') = \sqrt{\mu_2(z)} \left(-\sin \phi(z), \cos \phi(z), -i \operatorname{sign}(z - z') \frac{\sin \phi(z)}{\mu_2(z)} \right).$$

Отметим, в частности, что

$$\mathbf{f}^{(j)}(\mathbf{q}; z, z') \cdot \mathbf{n}^0(z) = 0,$$

$$\left| \mathbf{f}^{(j)}(\mathbf{q}; z, z') \right|^2 = \mu_j(z) + \frac{\sin^2 \phi(z)}{\mu_j(z)}.$$

Из (5.27) и (2.14) находим корреляционную функцию диэлектрической проницаемости $\mathcal{G}_{\beta\delta\gamma\nu}(\mathbf{q}, z_1, z_2)$ в виде

$$\mathcal{G}_{\beta\delta\gamma\nu}(\mathbf{q}; z_1, z_2) = \frac{k_B T \varepsilon_a^2}{2qK_{33} \cos \phi(z_1) \cos \phi(z_2)} \times \sum_{j=1}^2 \exp \left(-q \left| \int_{z_1}^{z_2} \mu_j(z) dz \right| \right) \times \mathcal{M}_{\beta\delta\gamma\nu}^{(j)}(\mathbf{q}; z_1, z_2), \quad (5.29)$$

где

$$\begin{aligned} \mathcal{M}_{\beta\delta\gamma\nu}^{(j)}(z_1, z_2) &= n_{\beta}^0(z_1) n_{\gamma}^0(z_2) \times \\ &\times f_{\delta}^{(j)}(z_1, z_2) f_{\nu}^{(j)*}(z_2, z_1) + \\ &+ n_{\delta}^0(z_1) n_{\gamma}^0(z_2) f_{\beta}^{(j)}(z_1, z_2) f_{\nu}^{(j)*}(z_2, z_1) + \\ &+ n_{\beta}^0(z_1) n_{\nu}^0(z_2) f_{\delta}^{(j)}(z_1, z_2) f_{\gamma}^{(j)*}(z_2, z_1) + \\ &+ n_{\delta}^0(z_1) n_{\nu}^0(z_2) f_{\beta}^{(j)}(z_1, z_2) f_{\gamma}^{(j)*}(z_2, z_1). \end{aligned} \quad (5.30)$$

Обсудим вопрос об области применимости формул (5.27), (5.29). Кроме неравенства $q \gg p_0$ здесь

могут возникать еще два ограничения, связанные с неравенствами (П.19) и (П.20). Неравенство (П.20) с учетом того, что $\mu_{1,2} \sim 1$, дает $|z_1 - z_2| \ll q/p_0^2$.

Наиболее существенно для нас ограничение (П.19). Это связано с тем, что согласно (5.12) при $\cos \phi = 0$ собственные числа μ_1 и μ_2 совпадают. Поэтому формула (5.27) теряет смысл, если точка z_* , такая что $\cos \phi(z_*) = 0$, попадает в область между точками z_1 и z_2 ³⁾.

Оценим ограничение на область применимости формул (5.27), (5.29), связанную с этим эффектом. Для этого введем новую переменную $\zeta = p_0 z + \phi_0 - \pi/2 = \phi - \pi/2$ и разложим μ_l в ряд в окрестности точки $\zeta = 0$

$$\begin{aligned} \mu_l &\approx 1 - \frac{1}{2} C_l \zeta^2, \quad l = 1, 2, \\ \mu_3 &= -\mu_1, \quad \mu_4 = -\mu_2, \end{aligned} \quad (5.31)$$

где $C_l = 1 - K_{33}/K_{ll}$. Заметим, что соответствующие линии $\mu_1(\zeta)$ и $\mu_2(\zeta)$ не пересекаются в точке $\zeta = 0$, а лишь соприкасаются. Для матричного элемента V_{12} в окрестности точки $\zeta = 0$ можно получить оценку

$$V_{12} \sim \frac{1}{\zeta^3} (1 + O(\zeta^2)).$$

Тогда первое условие (П.18) имеет вид

$$\tilde{\Omega} |\zeta|^3 \gg 1. \quad (5.32)$$

Это означает, что выражение (5.27) применимо лишь в случаях, когда $\tilde{\Omega} |\zeta|^3 \gg 1$, $\tilde{\Omega} |\zeta_1|^3 \gg 1$ и между точками ζ и ζ_1 нет точек, в которых $\mu_{1,2}$ совпадают, т. е. точек, в которых $\cos \phi = 0$.

Анализ поведения корреляционной функции в окрестности точек, для которых $\cos \phi = 0$, требует методов, используемых при исследовании точек поворота в методе ВКБ. Этот вопрос подробно обсуждался нами в работе [44]. Там показано, что на самом деле корреляционная функция флуктуаций в окрестности областей $\cos \phi(z_1) = 0$ и $\cos \phi(z_2) = 0$ ограничена. Существенно, однако, что в интересующей нас задаче рассеяния света основной вклад в интеграл (3.30), как будет показано ниже в разд. 6.1, вносит область с $|z_1 - z_2| \ll d$. А в случае, когда обе точки $z_{1,2}$ оказываются одновременно в области

³⁾ Кроме того, поскольку при $K_{11} = K_{22}$ тождественно выполнено равенство $\mu_1 = \mu_2$, необходимо выполнение неравенства $|K_{11} - K_{22}| \gg 2(K_{11}K_{22}/K_{33})(p_0/q)$, и, в частности, наши формулы (5.27), (5.29) не допускают использования одноконстантного приближения для энергии Франка (2.1).

$\cos \phi(z_{1,2}) = 0$, особенность в корреляционной функции сокращается. Это нетрудно увидеть, так как в пределе $z_1 \rightarrow z_2$ и $\cos \phi(z_1), \cos \phi(z_2) \rightarrow 0$ в формуле (5.23) показатели экспонент $\mu_1(z), \mu_2(z) \rightarrow 1$, и выполнено условие $\sum_{j=1,2} \widehat{W}^{(j)}(\mathbf{q}; z_1, z_2) \rightarrow 0$. Физически отсутствие особенности в этом случае можно объяснить тем, что в области близких значений z_1, z_2 ХЖК почти неотличим от нематика. А в НЖК корреляционная функция (5.21), как мы видели, конечна при $\cos \phi_0 = 0$.

Таким образом, для задачи рассеяния можно ограничиться выражением для корреляционной функции (5.27) при выполнении неравенств $q \gg p_0$ и

$$|z_1 - z_2| \ll q/p_0^2. \quad (5.33)$$

5.3. Пределные случаи

Проанализируем поведение выражения (5.27) при $p_0 \rightarrow 0$. Этот предельный переход соответству-

ет переходу к нематическому жидкому кристаллу. Если положить $p_0 = 0$, то формула (5.22) примет вид

$$\begin{aligned} \widehat{G}(\mathbf{q}; z - z_1) &= \frac{k_B T e^{-q\mu_1|z-z_1|}}{2qK_{33} \cos^2 \phi_0} \times \\ &\times \begin{pmatrix} -\mu_1^{-1} \sin^2 \phi_0 & i \operatorname{sign}(z-z_1) \sin \phi_0 \\ i \operatorname{sign}(z-z_1) \sin^2 \phi_0 & \mu_1 \end{pmatrix} + \\ &+ \frac{k_B T e^{-q\mu_2|z-z_1|}}{2qK_{33} \cos^2 \phi_0} \times \\ &\times \begin{pmatrix} \mu_2 & -i \operatorname{sign}(z-z_1) \sin \phi_0 \\ -i \operatorname{sign}(z-z_1) \sin \phi_0 & -\mu_2^{-1} \sin^2 \phi_0 \end{pmatrix}. \end{aligned} \quad (5.34)$$

Выполняя по переменной $z - z_1$ преобразование Фурье (4.21), получаем

$$\begin{aligned} \widehat{G}(\mathbf{q}, k_z) &= \frac{k_B T}{(K_{33}q^2 \cos^2 \phi_0 + K_{11}(q^2 \sin^2 \phi_0 + k_z^2))(K_{33}q^2 \cos^2 \phi_0 + K_{22}(q^2 \sin^2 \phi_0 + k_z^2))} \times \\ &\times \begin{pmatrix} (K_{33} \cos^2 \phi_0 + K_{22} \sin^2 \phi_0)q^2 + K_{11}k_z^2 & qk_z \sin \phi_0 (K_{11} - K_{22}) \\ qk_z \sin \phi_0 (K_{11} - K_{22}) & (K_{33} \cos^2 \phi_0 + K_{11} \sin^2 \phi_0)q^2 + K_{22}k_z^2 \end{pmatrix}. \end{aligned} \quad (5.35)$$

Обратим внимание, что в формуле (5.34) при $\phi_0 \rightarrow \pi/2$ возникает неопределенность, которая легко раскрывается и приводит к конечному выражению при $\phi_0 = \pi/2$. Поэтому в окрестности этой точки корреляционная функция (5.35) не имеет особенностей.

Если перейти в систему координат, где $\mathbf{n}_0 = \mathbf{e}_z$ и $\mathbf{q} \parallel \mathbf{e}_x$, то матрица \widehat{G} становится диагональной, и формула (5.35) переходит в известную формулу для корреляционной функции НЖК [34]:

$$G_{\alpha\beta}(\mathbf{k}) = \frac{k_B T}{K_{33}k_z^2 + K_{\alpha\alpha}k_{\perp}^2} \delta_{\alpha\beta}.$$

Представляет интерес сравнить наш результат (5.22) для корреляционной матрицы $\widehat{G}(\mathbf{q}; z_1, z_2)$, справедливый в пределе $q \gg p_0$ (нематикоподобный ХЖК) с известным результатом для $\widehat{G}(\mathbf{q}; z_1, z_2)$, полученным в противоположном предельном случае $q \ll p_0$ (смектикоподобный ХЖК) [20, 21]. Для простоты рассмотрим одноконстантное приближение, когда модули Франка равны $K_{11} = K_{22} = K_{33} = K$. Нас будет интересовать поведение $\widehat{G}(\mathbf{q}; z_1, z_2)$ как функции от модуля волнового вектора q и величины $z_1 - z_2$.

При $q \gg p_0$ компоненты корреляционной матри-

цы \widehat{G} согласно (5.22) имеют характерные зависимости от q и $z_1 - z_2$ вида

$$G_{\beta\gamma}(\mathbf{q}; z_1, z_2) \sim \frac{1}{q} \exp(-q|z_1 - z_2|). \quad (5.36)$$

С другой стороны, трехмерные фурье-образы элементов корреляционной матрицы в случае $q \ll p_0$ имеют вид [21],

$$\begin{aligned} G_{11}(\mathbf{q}, q_z) &= \frac{2p_0^2 k_B T}{K(2p_0^2 q_z^2 + q^2 q_z^2 + q^4)}, \\ G_{22}(\mathbf{q}, q_z) &= \frac{k_B T}{K(p_0^2 + q^2 + q_z^2)}, \\ G_{12} = G_{21} &= 0. \end{aligned} \quad (5.37)$$

Выражения (5.37) были получены путем усреднения по многим шагам спирали. Поэтому здесь моды u_1 и u_2 не коррелируют (недиагональные элементы корреляционной матрицы равны нулю), в отличие от нашего ответа, учитывающего почти локальные флуктуации. Обращает на себя внимание, что в этом предельном случае флуктуации директора в плоскости, перпендикулярной оси спирали (G_{11}), имеют характер, аналогичный флуктуациям смещений слоев в

смектике А. В то же время флуктуации вдоль оси спирали (G_{22}) имеют такой же характер, как флуктуации директора в нематике, но при этом ограничены шагом холестерической спирали.

Переходя в (5.37) к (\mathbf{q}, z) -представлению, получим

$$G_{11}(\mathbf{q}; z_1 - z_2) \sim \frac{p_0^2}{q^2 \sqrt{2p_0^2 + q^2}} \times \exp\left(-\frac{q^2 |z_1 - z_2|}{\sqrt{2p_0^2 + q^2}}\right), \quad (5.38)$$

$$G_{22}(\mathbf{q}; z_1 - z_2) \sim \frac{1}{\sqrt{p_0^2 + q^2}} \times \exp\left(-\sqrt{p_0^2 + q^2} |z_1 - z_2|\right).$$

Хотя выражения (5.38) применимы лишь при $q \ll p_0$, мы формально экстраполируем их в область $q \gg p_0$ и сравним с ответом (5.36) для \hat{G} . Это позволит нам оценить поведение флуктуационных мод в широкой области изменения q . При $q \gg p_0$ в (5.38) имеем

$$G_{11}(\mathbf{q}; z_1 - z_2) \sim \frac{p_0^2}{q^3} \exp(-q |z_1 - z_2|), \quad (5.39)$$

$$G_{22}(\mathbf{q}; z_1 - z_2) \sim \frac{1}{q} \exp(-q |z_1 - z_2|).$$

Экспоненциальные множители в (5.39) и (5.36) совпадают. Однако коэффициенты перед экспонентой для моды u_1 , отвечающей флуктуациям в плоскости, перпендикулярной оси холестерика, в этих формулах различаются. Коэффициенты же для моды u_2 , отвечающей флуктуациям вдоль оси спирали, совпадают. Последнее позволяет предположить, что полученное нами в области $q \gg p_0$ выражение для G_{22} имеет применимость в более широкой области значений q . Первая мода оказывается более чувствительной к шагу спирали, и ее поведение сильно различается для случаев $q \ll p_0$ и $q \gg p_0$.

6. РАССЕЯНИЕ СВЕТА В ХЖК

Рассмотрим образец ХЖК в виде плоского слоя толщиной L с достаточно большими поперечными размерами (рис. 6). На образец падает плоская волна с волновым вектором $\mathbf{k}^{(i)}$ и исследуется рассеянная волна в дальней зоне образца с волновым вектором $\mathbf{k}^{(s)}$.

Для простоты ограничимся случаем, когда поляризация падающего света вне образца подобрана так, что внутри образца образуется падающая

волна $\mathbf{E}_{in}^{(i)}(\mathbf{r})$ только одного из двух допустимых типов (4.2) — в противном случае необходимо выполнять суммирование по (i) внутри среды. Аналогично выберем также поляризацию рассеянного света вне образца так, чтобы ей внутри образца отвечала рассеянная волна $\mathbf{E}_{in}^{(s)}(\mathbf{r})$ только одного из двух допустимых типов (4.2). Это позволит нам в дальнейшем избежать суммирования по (s) внутри среды. Таким образом индексы (i) и (s) мы можем отождествлять с числами 1, 2 в зависимости от типа падающей и рассеянной волн.

Для этой геометрии интенсивность однократно рассеянного света в ХЖК согласно (3.24) и (3.30) определяется выражением

$$I^{(s)} = \frac{\sqrt{\varepsilon_0} c^2}{8\pi} \frac{k_0^6 \varepsilon_0}{4\pi^2} \frac{S_{\perp}}{r^2} \left(\frac{z}{r}\right)^2 e_{\alpha}^{(s)} e_{\gamma}^{(s)} \times$$

$$\times M_{\alpha\beta}^{in \rightarrow out}(\mathbf{k}_{\perp}^{(s)}, L) M_{\gamma\delta}^{in \rightarrow out}(\mathbf{k}_{\perp}^{(s)}, L) \times$$

$$\times \int_0^L dz_1 \int_0^L dz_2 T_{\beta\rho}^0(\mathbf{k}_{\perp}^{(s)}; L, z_1) T_{\delta\varphi}^{0*}(\mathbf{k}_{\perp}^{(s)}; L, z_2) \times$$

$$\times \mathcal{G}_{\rho\nu\varphi\mu}(\mathbf{k}_{\perp}^{(s)} - \mathbf{k}_{\perp}^{(i)}; z_1, z_2) \times$$

$$\times \mathcal{E}_{\nu}^{(i)}(\mathbf{k}_{\perp}^{(i)}, z_1) \mathcal{E}_{\mu}^{(i)*}(\mathbf{k}_{\perp}^{(i)}, z_2). \quad (6.1)$$

В выражение для интенсивности рассеяния (6.1) входят сопряженные пары падающих полей и функций Грина. Используя (4.2) и (4.17), получим

$$\mathcal{E}_{\nu}^{(i)}(\mathbf{k}_{\perp}^{(i)}, z_1) \mathcal{E}_{\mu}^{(i)*}(\mathbf{k}_{\perp}^{(i)}, z_2) =$$

$$= E_0^{(i)2} A^{(i)}(\mathbf{k}_{\perp}^{(i)}; z_1, 0) A^{(i)}(\mathbf{k}_{\perp}^{(i)}; z_2, 0) \times$$

$$\times \exp\left[-i \int_{z_1}^{z_2} k_z^{(i)}(\mathbf{k}_{\perp}^{(i)}, z') dz'\right] \times$$

$$\times e_{\nu}^{(i)}(\mathbf{k}_{\perp}^{(i)}, z_1) e_{\mu}^{(i)*}(\mathbf{k}_{\perp}^{(i)}, z_2), \quad (6.2)$$

$$T_{\beta\rho}^{(s)}(\mathbf{k}_{\perp}^{(s)}; L, z_1) T_{\delta\varphi}^{(s)*}(\mathbf{k}_{\perp}^{(s)}; L, z_2) =$$

$$= \frac{1}{4k_0^2} \exp\left[i \int_{z_1}^{z_2} k_z^{(s)}(\mathbf{k}_{\perp}^{(s)}, z') dz'\right] \times$$

$$\times B^{(s)2}(\mathbf{k}_{\perp}^{(s)}, L) B^{(s)}(\mathbf{k}_{\perp}^{(s)}, z_1) B^{(s)}(\mathbf{k}_{\perp}^{(s)}, z_2) \times$$

$$\times e_{\beta}^{(s)}(\mathbf{k}_{\perp}^{(s)}, L) e_{\delta}^{(s)*}(\mathbf{k}_{\perp}^{(s)}, L) \times$$

$$\times e_{\rho}^{(s)}(\mathbf{k}_{\perp}^{(s)}, z_1) e_{\varphi}^{(s)*}(\mathbf{k}_{\perp}^{(s)}, z_2). \quad (6.3)$$

Если подставить в формулу (6.1) выражения для функций Грина (6.3), корреляционной функции (5.29) и падающего поля (6.2), интенсивность

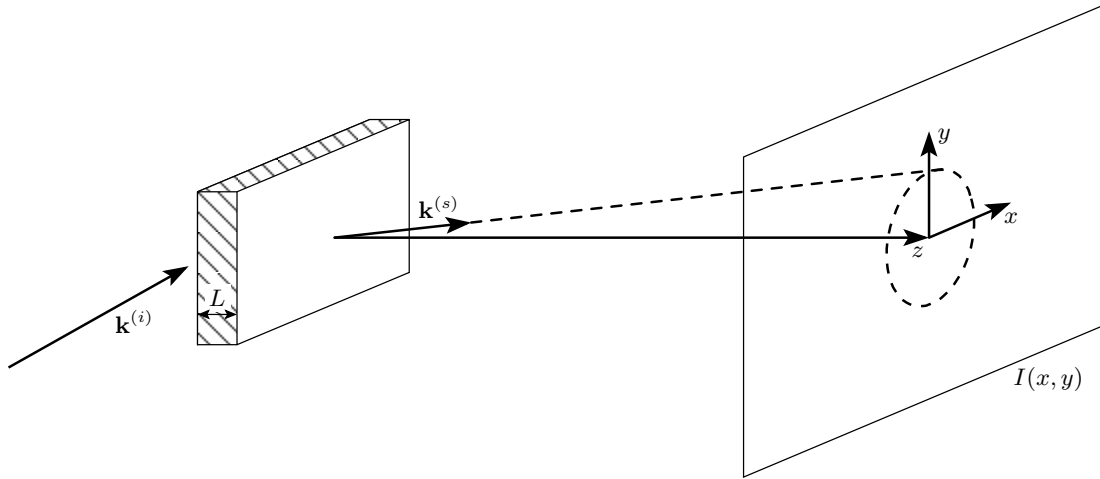


Рис. 6. Геометрия рассеяния света в ХЖК

рассеяния примет вид суммы двукратных интегралов, соответствующих двум флуктуационным модам директора

$$\begin{aligned}
 I^{(s)} &= \sum_{j=1}^2 I_j = J_0 \sum_{l=1}^2 \int_0^L dz_1 \int_0^L dz_2 \times \\
 &\times \exp \left[i \int_{z_1}^{z_2} (k_z^{(s)}(\mathbf{k}_\perp^{(s)}, z') - k_z^{(i)}(\mathbf{k}_\perp^{(i)}, z')) dz' \right] \times \\
 &\times \exp \left(-q \left| \int_{z_1}^{z_2} \mu_j(z) dz \right| \right) A^{(i)}(\mathbf{k}_\perp^{(i)}; z_1, 0) \times \\
 &\times A^{(i)}(\mathbf{k}_\perp^{(i)}; z_2, 0) B^{(s)}(\mathbf{k}_\perp^{(s)}, z_1) B^{(s)}(\mathbf{k}_\perp^{(s)}, z_2) \times \\
 &\times e_\rho^{(s)}(\mathbf{k}_\perp^{(s)}, z_1) e_\varphi^{(s)}(\mathbf{k}_\perp^{(s)}, z_2) \mathcal{M}_{\rho\nu\varphi\mu}^{(j)}(\mathbf{q}; z_1, z_2) \times \\
 &\times e_\nu^{(i)}(\mathbf{k}_\perp^{(i)}, z_1) e_\mu^{(i)}(\mathbf{k}_\perp^{(i)}, z_2), \quad (6.4)
 \end{aligned}$$

где $\mathbf{q} = \mathbf{k}_\perp^{(s)} - \mathbf{k}_\perp^{(i)}$,

$$\begin{aligned}
 J_0 &= E_0^2 \frac{\sqrt{\varepsilon_0} c^2}{8\pi} \frac{k_0^4 \varepsilon_0}{16\pi^2} \frac{S_\perp}{r^2} \left(\frac{z}{r} \right)^2 B^{(s)2}(\mathbf{k}_\perp^{(s)}, L) \times \\
 &\times e_\alpha^{(s)} e_\gamma^{(s)} M_{\alpha\beta}^{in \rightarrow out}(\mathbf{k}_\perp^{(s)}, L) \times \\
 &\times M_{\gamma\delta}^{in \rightarrow out}(\mathbf{k}_\perp^{(s)}, L) e_\beta^{(s)}(\mathbf{k}_\perp^{(s)}, L) e_\delta^{(s)}(\mathbf{k}_\perp^{(s)}, L).
 \end{aligned}$$

6.1. Использование больших параметров в выражении для интенсивности

Наличие в нашей системе больших параметров $\Omega = k_0/p_0$ и $\tilde{\Omega} = q/p_0$ позволяет существенно упростить общее выражение для интенсивности рассеяния (6.4). Для этого удобно снова вернуться к без-

размерной переменной $\xi = p_0 z$. Тогда I_j принимает вид

$$\begin{aligned}
 I_j &= \int_0^{Lp_0} \int_0^{Lp_0} d\xi_1 d\xi_2 F_j(\xi_1, \xi_2) \exp(i\Phi_{opt}(\xi_1, \xi_2) + \\
 &+ \Phi_{cor}^{(j)}(\xi_1, \xi_2)), \quad (6.5)
 \end{aligned}$$

где Φ_{opt} — фаза, обусловленная падающим полем и функцией Грина,

$$\begin{aligned}
 \Phi_{opt}(\xi_1, \xi_2) &= \frac{1}{p_0} \times \\
 &\times \left[- \int_{\xi_1}^{\xi_2} k_z^{(i)}(\mathbf{k}_\perp^{(i)}, \xi') d\xi' + \int_{\xi_1}^{\xi_2} k_z^{(s)}(\mathbf{k}_\perp^{(s)}, \xi') d\xi' \right] = \\
 &= \frac{1}{p_0} \int_{\xi_1}^{\xi_2} \Delta k_z(\mathbf{k}_\perp^{(s)}, \mathbf{k}_\perp^{(i)}, \xi') d\xi'. \quad (6.6)
 \end{aligned}$$

Здесь $\Delta k_z(\mathbf{k}_\perp^{(s)}, \mathbf{k}_\perp^{(i)}, \xi) = k_z^{(s)}(\mathbf{k}_\perp^{(s)}, \xi) - k_z^{(i)}(\mathbf{k}_\perp^{(i)}, \xi)$, $k_z^{(s)}$ и $k_z^{(i)}$ равны $k_z^{(1)}$ или $k_z^{(2)}$ в зависимости от типов падающей и рассеянной волн. «Фаза» корреляционной функции $\Phi_{cor}^{(j)}(\xi_1, \xi_2)$ имеет вид

$$\Phi_{cor}^{(j)}(\xi_1, \xi_2) = -\frac{q}{p_0} \left| \int_{\xi_1}^{\xi_2} \mu_j(\mathbf{q}, \xi') d\xi' \right|. \quad (6.7)$$

Функция $F_j(\xi_1, \xi_2)$, связанная с внеэкспоненциальными множителями в выражениях для падающего поля, функции Грина и корреляционной функции, может быть согласно (5.27), (5.28) записана в виде

$$F_j(\xi_1, \xi_2) = F_{1j}(\xi_1, \xi_2) + i \text{sign}(\xi_2 - \xi_1) F_{2j}(\xi_1, \xi_2),$$

где $F_{1j}(\xi_1, \xi_2)$ и $F_{2j}(\xi_1, \xi_2)$ — гладкие функции.

Интеграл (6.5) имеет характер зависимости по большим параметрам $k_0/p_0 \sim q/p_0$ типичный для задач, решаемых методом перевала. В данном случае осложняющим фактором является наличие особенности в фазовой функции на линии $\xi_1 = \xi_2$, связанной со знаком абсолютной величины в показателе экспоненты (6.7), а также с особенностью вида $\text{sign}(\xi_1 - \xi_2)$ функции $F_j(\xi_1, \xi_2)$ на этой же линии.

Вещественный показатель экспоненты (6.7) достигает максимума на линии $\xi_1 = \xi_2$. На этой же линии этот множитель имеет особенность, связанную с наличием знака модуля. Последнее приводит к тому, что в окрестности этой линии не происходит полного сокращения осцилляций, связанных с фазой Φ_{opt} . В результате линия $\xi_1 = \xi_2$ дает главный вклад в асимптотику всего интеграла (6.5)⁴⁾.

Переходя к новым переменным $\xi_+ = (\xi_1 + \xi_2)/2$ и $\xi_- = (\xi_2 - \xi_1)/2$, разложим фазовые функции возле линии $\xi_- = 0$, с точностью до членов первого порядка. Имеем

$$\begin{aligned} \Phi_j(\xi_+, \xi_-) &= i\Phi_{opt}(\xi_1, \xi_2) + \Phi_{cor}^{(j)}(\xi_1, \xi_2) \approx \\ &\approx \frac{2i}{p_0}\Delta k_z(\xi_+)\xi_- - \frac{2q}{p_0}\mu_j(\xi_+)|\xi_-|. \end{aligned} \quad (6.8)$$

Таким образом, интегралы, определяющие интенсивность рассеянного света, имеют структуру вида

$$\begin{aligned} I_j &= 2 \int_0^{Lp_0} d\xi_+ \int_{-\infty}^{+\infty} d\xi_- [F_{1j}(\xi_+, \xi_-) + \\ &+ i\text{sign}(\xi_-)F_{2j}(\xi_+, \xi_-)] e^{\Phi_j(\xi_+, \xi_-)}. \end{aligned} \quad (6.9)$$

По переменной ξ_- мы распространили интегрирование от $-\infty$ до $+\infty$, так как вклад по ξ_- вносит только узкая окрестность вблизи $\xi_- = 0$.

Разбивая промежуток интегрирования на два участка $(-\infty, 0)$ и $(0, +\infty)$ и заменяя внеэкспоненциальные гладкие функции $F_{1j,2j}$ их значениями при

$\xi_- = 0$, получаем для внутреннего интеграла в (6.9)

$$\begin{aligned} &\int_{-\infty}^{+\infty} F_j(\xi_+, \xi_-) e^{\Phi_j(\xi_+, \xi_-)} d\xi_- = \\ &= \int_{-\infty}^0 d\xi_- \exp\left(\frac{2i}{p_0}\Delta k_z(\xi_+)\xi_- + \frac{2q}{p_0}\mu_j(\xi_+)\xi_-\right) \times \\ &\quad \times (F_{1j}(\xi_+, 0) - iF_{2j}(\xi_+, 0)) + \\ &+ \int_0^{+\infty} d\xi_- \exp\left[\frac{2i}{p_0}\Delta k_z(\xi_+)\xi_- - \frac{2q}{p_0}\mu_j(\xi_+)\xi_-\right] \times \\ &\quad \times (F_{1j}(\xi_+, 0) + iF_{2j}(\xi_+, 0)) = \\ &= \frac{qp_0\mu_j(\xi_+)F_{1j}(\xi_+, 0)}{q^2\mu_j^2(\xi_+) + \Delta k_z^2(\xi_+)} - \\ &\quad - \frac{k_0p_0\Delta k_z(\xi_+)F_{2j}(\xi_+, 0)}{q^2\mu_j^2(\xi_+) + \Delta k_z^2(\xi_+)}. \end{aligned} \quad (6.10)$$

Таким образом, в главном порядке по большому параметру получаем выражение для интенсивности рассеяния в виде однократного интеграла

$$\begin{aligned} I_j &= 2p_0 \int_0^{Lp_0} d\xi_+ \times \\ &\times \frac{q\mu_j(\xi_+)F_{1j}(\xi_+, 0) - \Delta k_z(\xi_+)F_{2j}(\xi_+, 0)}{q^2\mu_j^2(\xi_+) + \Delta k_z^2(\xi_+)}. \end{aligned} \quad (6.11)$$

6.2. Основные геометрии рассеяния

Рассмотрим рассеяние света различных поляризаций.

Рассеяние типа (о)–(о) отсутствует. В этом нетрудно убедиться, если принять во внимание, что в интенсивность рассеянного света входят скалярные произведения векторов поляризаций падающей и рассеянной волн и вектора директора, входящего в выражение для корреляционной функции (5.30), а вектор поляризации обыкновенной волны ортогонален директору. Здесь ситуация вполне аналогична немагическому жидкому кристаллу.

Рассмотрим рассеяние типа (о)–(е). Выполняя суммирование по повторяющимся индексам и интегрирование по разностной переменной в выражении (6.4), получим

⁴⁾ Вклады стационарных точек осциллирующего множителя с фазой (6.6), лежащие вне линии $\xi_1 = \xi_2$, умножаются на экспоненциально малые сомножители с фазой (6.7), и ими можно пренебречь.

$$I(\mathbf{e}^{(1)}, \mathbf{e}^{(2)}) = \frac{J_0 \varepsilon_a^2 k_B T}{p_0 q K_{33}} \frac{k_0^2 \varepsilon_{\perp}^2 + \varepsilon_a k_{\perp}^{(s)2} \cos^2(\phi(L) - \gamma_s)}{\varepsilon_{\perp}^2 k_0 k_z^{(2)}(\mathbf{k}_{\perp}^{(s)}, L)} \int_0^{L p_0} d\xi_+ \frac{V_0(\mathbf{k}_{\perp}^{(s)}, \mathbf{k}_{\perp}^{(i)}, \xi_+)}{\cos^2(\xi_+ + \phi_0)} \times \\ \times \sum_{j=1}^2 \frac{q \mu_j(\xi_+) V_j(\mathbf{k}_{\perp}^{(i)}, \xi_+) - [k_z^{(2)}(\mathbf{k}_{\perp}^{(s)}, \xi_+) - k_z^{(1)}(k_{\perp}^{(i)})] W_j(\mathbf{k}_{\perp}^{(i)}, \xi_+)}{q^2 \mu_j^2(\xi_+) + [k_z^{(2)}(\mathbf{k}_{\perp}^{(s)}, \xi_+) - k_z^{(1)}(k_{\perp}^{(i)})]^2}, \quad (6.12)$$

где γ_s — угол между векторами \mathbf{q} и $\mathbf{k}_{\perp}^{(s)}$, γ_i — угол между векторами \mathbf{q} и $\mathbf{k}_{\perp}^{(i)}$,

$$V_0(\mathbf{k}_{\perp}^{(s)}, \mathbf{k}_{\perp}^{(i)}, \xi) = \frac{k_0}{k_z^{(2)}(\mathbf{k}_{\perp}^{(s)}, \xi)} \frac{k_0^2 \varepsilon_{\perp} - k_{\perp}^{(s)2} \cos^2(\phi(\xi) - \gamma_s)}{k_0^2 \varepsilon_{\perp} - k_{\perp}^{(i)2} \cos^2(\phi(\xi) - \gamma_i)}, \quad (6.13)$$

$$W_1(\mathbf{k}_{\perp}^{(i)}, \xi) = W_2(\mathbf{k}_{\perp}^{(i)}, \xi) = \frac{2k_{\perp}^{(i)} k_z^{(1)}(k_{\perp}^{(i)})}{k_0^2 \varepsilon_{\perp}} \sin(\phi(\xi) - \gamma_i) \sin \phi(\xi). \quad (6.15)$$

$$V_1(\mathbf{k}_{\perp}^{(i)}, \xi) = -\frac{k_z^{(1)2}(k_{\perp}^{(i)})}{k_0^2 \varepsilon_{\perp}} \frac{\sin^2 \phi(\xi)}{\mu_1(\xi)} + \\ + \frac{k_{\perp}^{(i)2}}{k_0^2 \varepsilon_{\perp}} \sin^2(\phi(\xi) - \gamma_i) \mu_1(\xi), \quad (6.14)$$

$$V_2(\mathbf{k}_{\perp}^{(i)}, \xi) = \frac{k_z^{(1)2}(k_{\perp}^{(i)})}{k_0^2 \varepsilon_{\perp}} \mu_2(\xi) - \\ - \frac{k_{\perp}^{(i)2}}{k_0^2 \varepsilon_{\perp}} \sin^2(\phi(\xi) - \gamma_i) \frac{\sin^2 \phi(\xi)}{\mu_2(\xi)},$$

Интенсивность рассеяния (e)–(o) может быть легко получена из интенсивности рассеяния (o)–(e), если выполнить замены: $\mathbf{e}^{(1)} \rightleftharpoons \mathbf{e}^{(2)}$ и $\mathbf{k}^{(s)} \rightleftharpoons \mathbf{k}^{(i)}$.

Различие при расчете интенсивности рассеяния (e)–(e) состоит в том, что после выполнения сверток вклад в рассеяние дадут все четыре слагаемых корреляционной функции (5.30). Выполняя суммирование по повторяющимся индексам и интегрирование по разностной переменной в выражении (6.4), получим интенсивность рассеяния (e)–(e) в виде

$$I(\mathbf{e}^{(2)}, \mathbf{e}^{(2)}) = \frac{J_0 \varepsilon_a^2 k_B T}{p_0 q K_{33}} \frac{k_z^{(2)}(\mathbf{k}_{\perp}^{(i)}, 0) [k_0^2 \varepsilon_{\perp}^2 + \varepsilon_a k_{\perp}^{(s)2} \cos^2(\phi(L) - \gamma_s)]}{k_z^{(2)}(\mathbf{k}_{\perp}^{(s)}, L) [k_0^2 \varepsilon_{\perp}^2 + \varepsilon_a k_{\perp}^{(i)2} \cos^2(\phi_0 - \gamma_i)] \varepsilon_{\perp}^2} \times \\ \times \int_0^{L p_0} \frac{d\xi_+}{\cos^2(\xi_+ + \phi_0)} \sum_{j=1}^2 \sum_{k=1}^4 V_0^{(k)}(\mathbf{k}_{\perp}^{(s)}, \mathbf{k}_{\perp}^{(i)}, \xi_+) \times \\ \times \frac{q \mu_j(\xi_+) V_j^{(k)}(\mathbf{k}_{\perp}^{(s)}, \mathbf{k}_{\perp}^{(i)}, \xi_+) - [k_z^{(2)}(\mathbf{k}_{\perp}^{(s)}, \xi_+) - k_z^{(2)}(\mathbf{k}_{\perp}^{(i)}, \xi_+)] W_j^{(k)}(\mathbf{k}_{\perp}^{(s)}, \mathbf{k}_{\perp}^{(i)}, \xi_+)}{q^2 \mu_j^2(\xi_+) + [k_z^{(2)}(\mathbf{k}_{\perp}^{(s)}, \xi_+) - k_z^{(2)}(\mathbf{k}_{\perp}^{(i)}, \xi_+)]^2}. \quad (6.16)$$

Здесь введены следующие обозначения:

$$V_0^{(1)}(\mathbf{k}_{\perp}^{(s)}, \mathbf{k}_{\perp}^{(i)}, \xi) = \frac{k_0^2 \varepsilon_{\perp} - k_{\perp}^{(s)2} \cos^2(\phi(\xi) - \gamma_s)}{k_0^2 \varepsilon_{\perp} - k_{\perp}^{(i)2} \cos^2(\phi(\xi) - \gamma_i)} \frac{k_{\perp}^{(i)2} \cos^2(\phi(\xi) - \gamma_i)}{k_z^{(2)}(\mathbf{k}_{\perp}^{(s)}, \xi) k_z^{(2)}(\mathbf{k}_{\perp}^{(i)}, \xi)},$$

$$V_0^{(2)}(\mathbf{k}_{\perp}^{(s)}, \mathbf{k}_{\perp}^{(i)}, \xi) = V_0^{(3)}(\mathbf{k}_{\perp}^{(s)}, \mathbf{k}_{\perp}^{(i)}, \xi) = \frac{k_{\perp}^{(s)} k_{\perp}^{(i)} \cos(\phi(\xi) - \gamma_s) \cos(\phi(\xi) - \gamma_i)}{k_z^{(2)}(\mathbf{k}_{\perp}^{(i)}, \xi) k_z^{(2)}(\mathbf{k}_{\perp}^{(s)}, \xi)}, \quad (6.17)$$

$$V_0^{(4)}(\mathbf{k}_{\perp}^{(s)}, \mathbf{k}_{\perp}^{(i)}, \xi) = \frac{k_0^2 \varepsilon_{\perp} - k_{\perp}^{(i)2} \cos^2(\phi(\xi) - \gamma_i)}{k_0^2 \varepsilon_{\perp} - k_{\perp}^{(s)2} \cos^2(\phi(\xi) - \gamma_s)} \frac{k_{\perp}^{(s)2} \cos^2(\phi(\xi) - \gamma_s)}{k_z^{(2)}(\mathbf{k}_{\perp}^{(i)}, \xi) k_z^{(2)}(\mathbf{k}_{\perp}^{(s)}, \xi)},$$

$$V_j^{(1)}(\mathbf{k}_{\perp}^{(s)}, \mathbf{k}_{\perp}^{(i)}, \xi) = \tilde{V}_j(\mathbf{k}_{\perp}^{(i)}, \mathbf{k}_{\perp}^{(i)}, \xi),$$

$$V_j^{(2)}(\mathbf{k}_{\perp}^{(s)}, \mathbf{k}_{\perp}^{(i)}, \xi) = V_j^{(3)}(\mathbf{k}_{\perp}^{(s)}, \mathbf{k}_{\perp}^{(i)}, \xi) = \tilde{V}_j(\mathbf{k}_{\perp}^{(s)}, \mathbf{k}_{\perp}^{(i)}, \xi),$$

$$V_j^{(4)}(\mathbf{k}_{\perp}^{(s)}, \mathbf{k}_{\perp}^{(i)}, \xi) = \tilde{V}_j(\mathbf{k}_{\perp}^{(s)}, \mathbf{k}_{\perp}^{(s)}, \xi),$$

где $j = 1, 2$ и

$$\begin{aligned} \tilde{V}_1(\mathbf{k}_1, \mathbf{k}_2, \xi) &= -\frac{k_1 k_2}{k_0^2} \frac{\sin^2 \phi(\xi)}{\mu_1(\xi)} \times \\ &\times \sin(\phi(\xi) - \gamma_1) \sin(\phi(\xi) - \gamma_2) + \\ &+ \frac{k_z^{(2)}(\mathbf{k}_1, \xi) k_z^{(2)}(\mathbf{k}_2, \xi)}{k_0^2} \mu_1(\xi), \\ \tilde{V}_2(\mathbf{k}_1, \mathbf{k}_2, \xi) &= \\ &= \frac{k_1 k_2}{k_0^2} \mu_2(\xi) \sin(\phi(\xi) - \gamma_1) \sin(\phi(\xi) - \gamma_2) - \\ &- \frac{k_z^{(2)}(\mathbf{k}_1, \xi) k_z^{(2)}(\mathbf{k}_2, \xi)}{k_0^2} \frac{\sin^2 \phi(\xi)}{\mu_2(\xi)}, \end{aligned} \quad (6.18)$$

γ_j — угол между векторами \mathbf{q} и \mathbf{k}_j .

$$\begin{aligned} W_j^{(1)}(\mathbf{k}_\perp^{(s)}, \mathbf{k}_\perp^{(i)}, \xi) &= \tilde{W}_j(\mathbf{k}_\perp^{(i)}, \mathbf{k}_\perp^{(i)}, \xi), \\ W_j^{(2)}(\mathbf{k}_\perp^{(s)}, \mathbf{k}_\perp^{(i)}, \xi) &= W_j^{(3)}(\mathbf{k}_\perp^{(s)}, \mathbf{k}_\perp^{(i)}, \xi) = \\ &= \tilde{W}_j(\mathbf{k}_\perp^{(i)}, \mathbf{k}_\perp^{(s)}, \xi), \\ W_j^{(4)}(\mathbf{k}_\perp^{(s)}, \mathbf{k}_\perp^{(i)}, \xi) &= \tilde{W}_j(\mathbf{k}_\perp^{(s)}, \mathbf{k}_\perp^{(s)}, \xi), \end{aligned}$$

где $j = 1, 2$ и

$$\begin{aligned} \tilde{W}_1(\mathbf{k}_1, \mathbf{k}_2, \xi) &= -\frac{\sin \phi(\xi)}{k_0^2} \times \\ &\times \left[k_1 k_z^{(2)}(\mathbf{k}_2, \xi) \sin(\phi(\xi) - \gamma_1) + \right. \\ &\left. + k_2 k_z^{(2)}(\mathbf{k}_1, \xi) \sin(\phi(\xi) - \gamma_2) \right], \\ \tilde{W}_2(\mathbf{k}_1, \mathbf{k}_2, \xi) &= -\tilde{W}_1(\mathbf{k}_1, \mathbf{k}_2, \xi). \end{aligned} \quad (6.19)$$

Выражения (6.12) и (6.16) позволяют рассчитывать интенсивность однократного рассеяния света ячейкой ХЖК в переднюю полусферу при произвольной ориентации директора в плоскостях границ. Расчет интенсивности рассеяния в заднюю полусферу можно провести теми же методами.

Использование нами больших параметров $\Omega = k_0/p_0$ и $\tilde{\Omega} = q/p_0$ приводит к определенным ограничениям на геометрические условия рассеяния, при которых применимы формулы (6.12), (6.16). Во-первых, угол γ между векторами $\mathbf{k}_\perp^{(i)}$ и $\mathbf{k}_\perp^{(s)}$ не может быть очень малым ($\gamma \gg p_0/k_0 \sim \lambda/d$), поскольку выражения разд. 5.2 для корреляционной функции получены в приближении $q \gg p_0$. Во-вторых, углы, образуемые волновыми векторами падающей $\mathbf{k}^{(i)}$ и рассеянной $\mathbf{k}^{(s)}$ волн необыкновенного типа с осью z , должны быть не слишком близки к 90° . Это связано с описанным в разд. 4.1 эффектом захвата необыкновенного луча в плоский волновой канал. Наконец, условие применимости ВКБ приближения (5.27) для корреляционной функции, связанное с неравенством (5.33), дает ограничение на толщину L

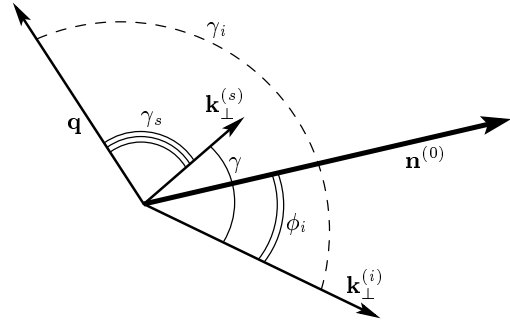


Рис. 7. Проекция волновых векторов на плоскость xy

допустимого ХЖК: $L \ll k_0/p_0^2 \sim \pi d^2/\lambda$. Из последнего неравенства следует, что полученные нами формулы позволяют, в частности, рассматривать ХЖК, содержащий много периодов спирали.

Мы рассчитали интенсивность рассеянного света для приведенных геометрий. При расчетах вводился угол ϕ_i между вектором директора \mathbf{n}^0 и вектором $\mathbf{k}^{(i)}$ на плоскости $z = 0$, а также угол γ между поперечными проекциями волновых векторов падающей и рассеянной волн. Эти углы показаны на рис. 7.

Рассчитывались интенсивности рассеяния $I(\mathbf{e}^{(1)}, \mathbf{e}^{(2)})$ и $I(\mathbf{e}^{(2)}, \mathbf{e}^{(2)})$. На рис. 8 показаны линии постоянной интенсивности рассеянного света для холестерика с полным углом закрутки $Lp_0 = \pi/2$, когда угол падения по отношению к оси z равен $\pi/8$ и $\phi_i = \pi/4$. Максимальная интенсивность для обоих типов рассеяния достигается в области $\mathbf{k}^{(s)} \approx \mathbf{k}^{(i)}$. Видно, что для рассеяния (о)–(е) «пятно на экране» значительно шире, чем для рассеяния (е)–(е). Интенсивность рассеяния (е)–(е) в центре формально не ограничена, в то время как для рассеяния (о)–(е) она конечна. Отметим также более сложную форму пика для рассеяния (е)–(е). На рис. 9 приведены те же интенсивности, но для угла падения $\pi/4$.

Специфической особенностью данной системы является нелинейная зависимость интенсивности однократного рассеяния света от объема образца $V = S_\perp L$. А именно, при изменении толщины образца наблюдаются осцилляции величины I/L как функции параметра Lp_0 . При этом зависимость I от S_\perp по-прежнему линейная. Эта особенность показана на рис. 10 для обоих типов рассеяния.

Мы также рассчитали степень поляризации P при рассеянии необыкновенной волны [39]

$$P = \frac{|I(\mathbf{e}^{(2)}, \mathbf{e}^{(2)}) - I(\mathbf{e}^{(2)}, \mathbf{e}^{(1)})|}{I(\mathbf{e}^{(2)}, \mathbf{e}^{(2)}) + I(\mathbf{e}^{(2)}, \mathbf{e}^{(1)})}.$$

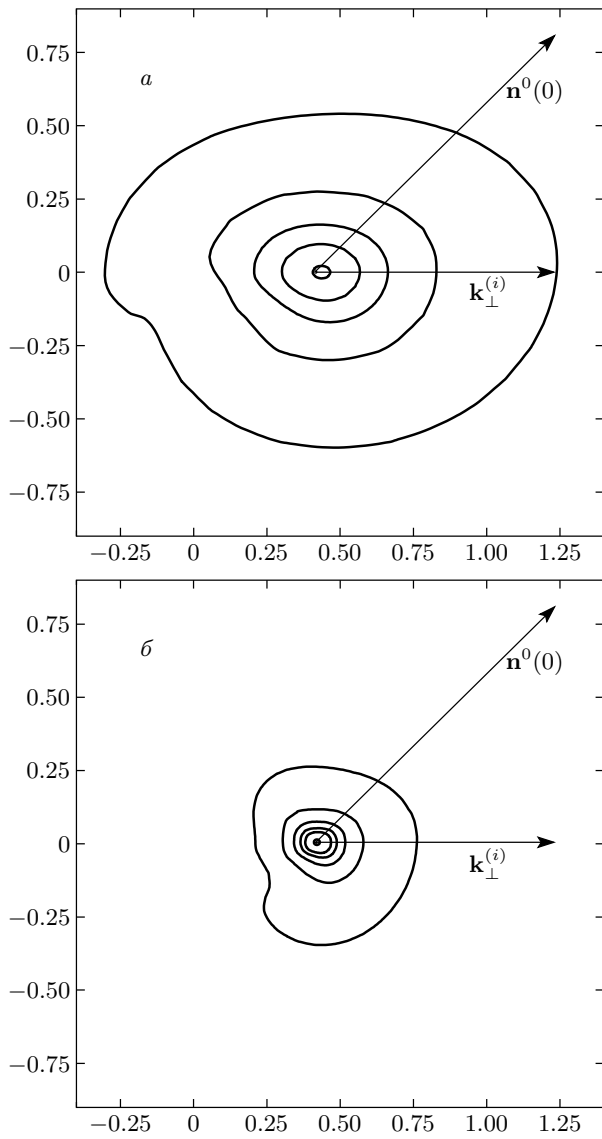


Рис. 8. Линии постоянной интенсивности рассеянного света для рассеяний типа (о)–(е) — а и типа (е)–(е) — б. На осях отложены расстояния в относительных единицах, одинаковых для обоих типов рассеяния. Интенсивности рассчитаны для $\varepsilon_\alpha = 0.5$, $\varepsilon_\perp = 2.0$, $K_{11} = 3.0 \cdot 10^{-6}$ дин, $K_{22} = 2.0 \cdot 10^{-6}$ дин, $K_{33} = 5.0 \cdot 10^{-6}$ дин, угол падения составляет $\pi/8$, $\phi_i = \pi/4$, $Lp_0 = \pi/2$. Высота пика рассеяния (о)–(е) составляет 2.1 отн. ед. Линии постоянной интенсивности построены на пяти уровнях: 2.0, 1.0, 0.5, 0.2, 0.05

Интенсивность рассеяния типа (е)–(о), $I(\mathbf{e}^{(2)}, \mathbf{e}^{(1)})$, может быть получена аналогично интенсивности рассеяния типа (о)–(е) (6.12). Линии постоянной степени поляризации показаны на рис. 11. Эти линии имеют достаточно сложный характер, поскольку пи-

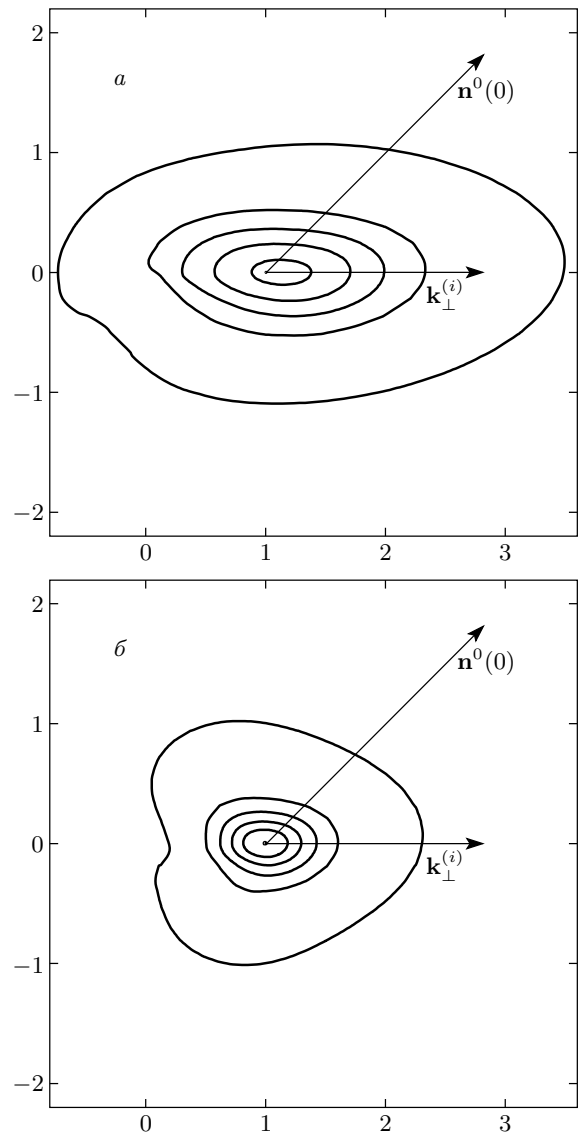


Рис. 9. Линии постоянной интенсивности рассеянного света для рассеяний типа (о)–(е) — а и типа (е)–(е) — б. На осях отложены расстояния в относительных единицах, одинаковых для обоих типов рассеяния. Значения диэлектрических проницаемостей и модулей Франка такие же, как на рис. 8. Угол падения составляет $\pi/4$, $\phi_i = \pi/4$, $Lp_0 = \pi/2$. Высота пика рассеяния (о)–(е) 0.68 отн. ед. Линии постоянной интенсивности построены на пяти уровнях: 0.5, 0.2, 0.1, 0.05, 0.01

ки (е)–(е) и (е)–(о) значительно различаются. Пик рассеяния (е)–(е) имеет большую высоту и резко убывает с углом, а пик рассеяния (е)–(о) более пологий и имеет значительно меньшую высоту. В результате в окрестности нулевого угла рассеяния степень поляризации близка к единице, затем она достаточ-

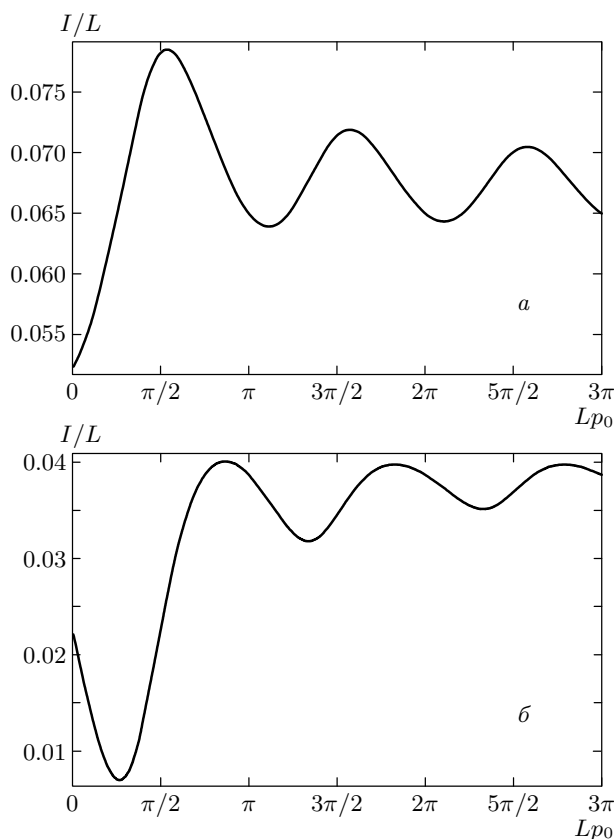


Рис. 10. Зависимость величины I/L от параметра Lp_0 для рассеяний типа (o)-(e) — a и типа (e)-(e) — b , выраженной в относительных единицах. Значения диэлектрических проницаемостей и модулей Франка такие же, как на рис. 8. Угол падения составляет $\pi/8$, угол рассеяния $\pi/4$, $\gamma = \pi/6$, $\phi_i = \pi/4$

но быстро убывает до нуля, а далее снова начинает нарастать. На рис. 11 изолиния $P = 0.5$ в области, где интенсивность рассеяния (e)-(o) становится больше, замыкается при больших углах рассеяния и поэтому мы привели только часть этой линии.

7. ЗАКЛЮЧЕНИЕ

Мы исследовали рассеяние света в холестериках с большим шагом спирали. При решении этой задачи оказалось, что учет пространственной неоднородности среды существен как при описании нормальных волн и функции Грина, так и при расчете пространственных корреляционных функций флуктуаций диэлектрической проницаемости и спектров тепловых шумов.

Использованный метод расчета может оказать-

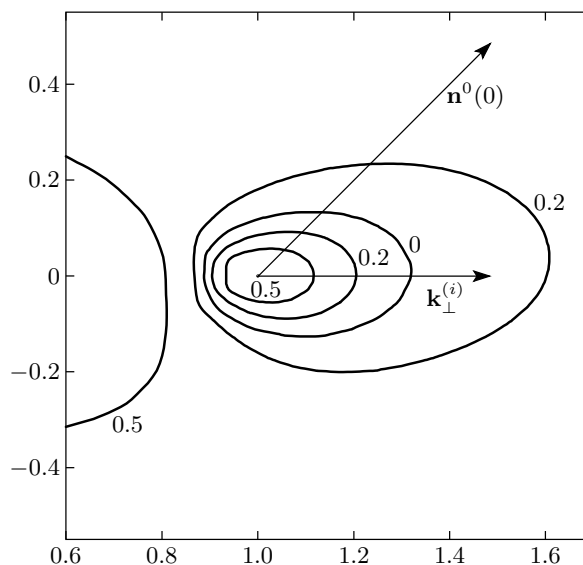


Рис. 11. Линии постоянной степени поляризации для рассеяний типа (e)-(o) и типа (e)-(e). На осях отложены расстояния в относительных единицах. Значения диэлектрических проницаемостей и модулей Франка такие же, как на рис. 8. Угол падения составляет $\pi/4$, $\phi_i = \pi/4$, $Lp_0 = \pi/2$. Линии постоянной степени поляризации построены на трех уровнях: 0.5, 0.2, 0.0

ся полезным при изучении рассеяния света в разнообразных слоистых средах и средах с одномерной периодичностью, когда длина световой волны мала по сравнению с пространственной неоднородностью среды. В частности, в рамках развитого подхода можно исследовать проблему распространения и рассеяния света в волновом канале.

Проведенные расчеты показывают, что предложенная теория дает возможность из измерений угловых и поляризационных характеристик интенсивности рассеянного света получать данные о корреляционных функциях в средах, свойства которых периодически меняются в пространстве.

Авторы благодарны В. А. Белякову за полезные обсуждения. Работа выполнена при финансовой поддержке РФФИ (гранты №№ 02-02-16577, 03-02-16173), а также при частичной поддержке Министерства Образования РФ и администрации Санкт-Петербурга (гранты №№ PD02-1.2-297, PD03-1.2-36), а также НАТО (грант № PST.CLG.979652) и The Royal Society (грант № 15298).

ПРИЛОЖЕНИЕ

Векторный метод ВКБ

Рассмотрим уравнение вида

$$\frac{\partial}{\partial \xi} \widehat{M}(\xi, \xi_0) = \left(i\tilde{\Omega} \widehat{B} + \widehat{C} \right) \widehat{M}(\xi, \xi_0), \quad (\text{П.1})$$

с начальным условием $\widehat{M}(\xi_0, \xi_0) = \widehat{I}$, где $\tilde{\Omega} \gg 1$, $\widehat{B} = \widehat{B}(\xi)$, $\widehat{C} = \widehat{C}(\xi)$. Удобно сделать замену неизвестного, для которого в главном порядке по большому параметру $\tilde{\Omega}$ система станет диагональной. Для этого представим $\widehat{M}(\xi, \xi_0)$ в виде

$$\widehat{M}(\xi, \xi_0) = \widehat{U}(\xi) \widehat{H}(\xi, \xi_0), \quad (\text{П.2})$$

где $\widehat{U}(\xi)$ — некоторая невырожденная матрица, выбор которой будет сделан позже, \widehat{H} — новое неизвестное, удовлетворяющее начальному условию $\widehat{H}(\xi_0, \xi_0) = \widehat{U}^{-1}(\xi_0)$.

Уравнение (П.1) примет тогда вид

$$\frac{\partial \widehat{H}}{\partial \xi} = \left(i\tilde{\Omega} \widehat{U}^{-1} \widehat{B} \widehat{U} + \widehat{U}^{-1} \widehat{C} \widehat{U} - \widehat{U}^{-1} \frac{\partial \widehat{U}}{\partial \xi} \right) \widehat{H}. \quad (\text{П.3})$$

Выберем теперь $\widehat{U}(\xi)$ так, чтобы матрица $\widehat{U}^{-1} \widehat{B} \widehat{U}$ стала диагональной, т. е.

$$\widehat{U}^{-1} \widehat{B} \widehat{U} = \widehat{\Lambda}, \quad (\text{П.4})$$

где $\widehat{\Lambda}$ — диагональная матрица, составленная из собственных значений матрицы \widehat{B} ⁵⁾. При этом столбцы матрицы \widehat{U} являются собственными векторами матрицы \widehat{B} . Тогда уравнение (П.3) принимает вид

$$\frac{\partial \widehat{H}}{\partial \xi} = i\tilde{\Omega} \left[\widehat{\Lambda} + \frac{i}{\tilde{\Omega}} \left(\widehat{U}^{-1} \frac{\partial \widehat{U}}{\partial \xi} - \widehat{U}^{-1} \widehat{C} \widehat{U} \right) \right] \widehat{H}. \quad (\text{П.5})$$

Если отбросить в квадратных скобках правой части (П.5) член, имеющий относительный порядок $1/\tilde{\Omega}$, то в силу диагональности матрицы $\widehat{\Lambda}$ система расщепляется на независимые уравнения

$$\frac{\partial \widehat{H}_{(0)}}{\partial \xi} = i\tilde{\Omega} \widehat{\Lambda} \widehat{H}_{(0)}, \quad (\text{П.6})$$

решение которых имеет вид

$$\widehat{H}_{(0)}(\xi, \xi_0) = \exp \left[i\tilde{\Omega} \int_{\xi_0}^{\xi} \widehat{\Lambda}(\xi') d\xi' \right] \widehat{U}^{-1}(\xi_0). \quad (\text{П.7})$$

⁵⁾ Ситуация, когда матрица \widehat{B} в некоторых точках не приводится к диагональной форме, обсуждается применительно к задачам распространения волн и теории колебаний в [45], а применительно к флуктуациям в ХЖК — в [44].

Основной недостаток этой формулы «нулевого приближения» состоит в том, что она вместе с (П.2) дает выражение для $\widehat{M}(\xi, \xi_0)$ не инвариантное относительно произвольного зависящего от точки ξ выбора нормировки собственных векторов матрицы \widehat{B} . Чтобы преодолеть эту трудность, нам необходимо решение в следующем порядке по $\tilde{\Omega}$. Для этого представим $\widehat{H}(\xi, \xi_0)$ в виде

$$\widehat{H}(\xi, \xi_0) = \widehat{U}_{(1)}(\xi) \widehat{H}_{(1)}(\xi, \xi_0), \quad (\text{П.8})$$

где $\widehat{U}_{(1)}(\xi)$ — неопределенная пока невырожденная матрица. Подставляя (П.8) в (П.5), получим уравнение для $\widehat{H}_{(1)}(\xi, \xi_0)$:

$$\frac{\partial \widehat{H}_{(1)}}{\partial \xi} = i\tilde{\Omega} \left\{ \widehat{U}_{(1)}^{-1} \left[\widehat{\Lambda} + \frac{i}{\tilde{\Omega}} \left(\widehat{U}_{(1)}^{-1} \frac{\partial \widehat{U}}{\partial \xi} - \widehat{U}_{(1)}^{-1} \widehat{C} \widehat{U} \right) \right] \times \right. \\ \left. \times \widehat{U}_{(1)} + \frac{i}{\tilde{\Omega}} \widehat{U}_{(1)}^{-1} \frac{\partial \widehat{U}_{(1)}}{\partial \xi} \right\} \widehat{H}_{(1)} \quad (\text{П.9})$$

с начальным условием $\widehat{H}_{(1)}(\xi_0, \xi_0) = \widehat{U}_{(1)}^{-1}(\xi_0) \widehat{U}^{-1}(\xi_0)$.

Выберем теперь матрицу $\widehat{U}_{(1)}(\xi)$ так, чтобы

$$\widehat{U}_{(1)}^{-1} \left[\widehat{\Lambda} + \frac{i}{\tilde{\Omega}} \left(\widehat{U}_{(1)}^{-1} \frac{\partial \widehat{U}}{\partial \xi} - \widehat{U}_{(1)}^{-1} \widehat{C} \widehat{U} \right) \right] \widehat{U}_{(1)} = \\ = \widehat{\Lambda}_{(1)}, \quad (\text{П.10})$$

где $\widehat{\Lambda}_{(1)}$ — диагональная матрица, составленная из собственных значений матрицы, стоящей в квадратных скобках (П.10). Тогда уравнение (П.9) принимает вид

$$\frac{\partial \widehat{H}_{(1)}}{\partial \xi} = \left(i\tilde{\Omega} \widehat{\Lambda}_{(1)} - \widehat{U}_{(1)}^{-1} \frac{\partial \widehat{U}_{(1)}}{\partial \xi} \right) \widehat{H}_{(1)}. \quad (\text{П.11})$$

Заметим, что в случае $\tilde{\Omega} \gg 1$ матрица $\widehat{\Lambda} + i\tilde{\Omega}^{-1} \left(\widehat{U}^{-1} \frac{\partial \widehat{U}}{\partial \xi} - \widehat{U}^{-1} \widehat{C} \widehat{U} \right)$ близка к матрице $\widehat{\Lambda}$, а значит, близки матрицы $\widehat{\Lambda}$ и $\widehat{\Lambda}_{(1)}$, поэтому матрица $\widehat{U}_{(1)}$ в (П.10) близка к единичной матрице, т. е.

$$\widehat{U}_{(1)}(\xi) \approx \widehat{I} + \frac{i}{\tilde{\Omega}} \widehat{V}(\xi), \\ \widehat{U}_{(1)}^{-1}(\xi) \approx \widehat{I} - \frac{i}{\tilde{\Omega}} \widehat{V}(\xi), \quad (\text{П.12})$$

где $\widehat{V} = O(1)$.

Из соотношений (П.12) следует, что второе слагаемое в скобках (П.11) имеет по отношению к пер-

вому порядок $1/\tilde{\Omega}^2$. Пренебрегая этим слагаемым, получим

$$\begin{aligned} \hat{H}_{(1)}(\xi, \xi_0) &\approx \\ &\approx \exp \left[i\tilde{\Omega} \int_{\xi_0}^{\xi} \hat{\Lambda}_{(1)}(\xi') d\xi' \right] \hat{U}_{(1)}^{-1}(\xi_0) \hat{U}^{-1}(\xi_0). \end{aligned} \quad (\text{П.13})$$

Подставляя формулы (П.12) в уравнение (П.10), получим для новых матриц $\hat{\Lambda}_{(1)}$ и \hat{V} в главных порядках по $\tilde{\Omega}$

$$(\hat{\Lambda}_{(1)})_{ll} \approx i\mu_l + \frac{i}{\tilde{\Omega}} \left(\hat{U}^{-1} \frac{\partial \hat{U}}{\partial \xi} - \hat{U}^{-1} \hat{C} \hat{U} \right)_{ll}, \quad (\text{П.14})$$

$$V_{lm} \approx \frac{1}{i(\mu_m - \mu_l)} \left(\hat{U}^{-1} \frac{\partial \hat{U}}{\partial \xi} - \hat{U}^{-1} \hat{C} \hat{U} \right)_{lm}, \quad l \neq m, \quad (\text{П.15})$$

где $\mu_l = -i\Lambda_{ll}$. Нахождение диагональных членов V_{ll} матрицы \hat{V} требует следующей итерации в нашем методе последовательной диагонализации — подстановке вида

$$\hat{H}_{(1)}(\xi, \xi_0) = \hat{U}_{(2)}(\xi) \hat{H}_{(2)}(\xi, \xi_0)$$

в (П.11) и вычисления величин $\hat{U}_{(2)}$ и $\hat{H}_{(2)}$ с учетом поправок порядка $1/\tilde{\Omega}^2$. Однако в выражении для оператора эволюции «первого приближения»

$$\hat{M}(\xi, \xi_0) = \hat{U}(\xi) \hat{U}_{(1)}(\xi) \hat{H}_{(1)}(\xi, \xi_0), \quad (\text{П.16})$$

вклады от диагональной части \hat{V} , связанные с внешними множителями $\hat{U}_{(1)}(\xi)$ в (П.16) и $\hat{U}_{(1)}^{-1}(\xi_0)$ в (П.13), сокращаются с вкладом от диагональной части \hat{V} , происходящим от члена $\hat{U}_{(1)}^{-1} \partial \hat{U}_{(1)} / \partial \xi$ в (П.11). Поэтому в интересующем нас порядке по $\tilde{\Omega}$ можно не учитывать диагональных членов матрицы \hat{V} .

Пренебрегая в выражениях (П.12) для матриц $\hat{U}_{(1)}$ и $\hat{U}_{(1)}^{-1}$ поправками порядка $1/\tilde{\Omega}$ (т. е., фактически, заменяя их на единичные матрицы), получаем из (П.16) матрицу $\hat{M}(\xi, \xi_0)$ в «ВКБ-приближении»:

$$\begin{aligned} \hat{M}(\xi, \xi_0) &= \hat{U}(\xi) \widehat{\text{diag}} \left\{ \exp \left[- \int_{\xi_0}^{\xi} (\tilde{\Omega} \mu_l(x) + \right. \right. \\ &+ \left. \left. \left(\hat{U}^{-1}(x) \frac{\partial \hat{U}(x)}{\partial x} - \hat{U}^{-1}(x) \hat{C}(x) \hat{U}(x) \right)_{ll} dx \right] \right\} \times \\ &\times \hat{U}^{-1}(\xi_0). \end{aligned} \quad (\text{П.17})$$

Эта формула при $\hat{C} = \hat{0}$ представляет собой векторный аналог классического ВКБ-приближения.

Область применимости этой формулы определяется неравенствами

$$\begin{aligned} \tilde{\Omega} &\gg 1, \quad |V_{lm}(\xi')| \ll \tilde{\Omega}, \\ \tilde{\Omega} \left| \int_{\xi_0}^{\xi} \left(\hat{\Lambda}_{(2)}(\xi') - \hat{\Lambda}_{(1)}(\xi') \right)_{ll} d\xi' \right| &\ll 1, \end{aligned} \quad (\text{П.18})$$

где $\hat{\Lambda}_{(2)}$ — соответствующая диагональная матрица второго приближения.

Первое неравенство означает просто, что $\tilde{\Omega}$ является большим параметром. Второе неравенство связано с пренебрежением при получении (П.17) членами $\pm i\hat{V}(\xi)/\tilde{\Omega}$ в (П.12) и согласно (П.15) дает ограничение на близость собственных чисел μ_l и μ_m во всем интервале от ξ_0 до ξ ,

$$\min_{\xi_0 \leq \xi' \leq \xi} |\mu_l(\xi') - \mu_m(\xi')| \gg \tilde{\Omega}^{-1}. \quad (\text{П.19})$$

Наконец, третье неравенство означает малость следующей поправки к экспоненциальному члену в (П.17) при любых ξ_0, ξ и дает ограничение на допустимую ширину области $\xi - \xi_0$, в которой можно пользоваться ВКБ-формулой (П.17). По порядку величины $\Lambda_{(1)ll}(\xi') - \Lambda_{(2)ll}(\xi') \sim \mu_l(\xi') \tilde{\Omega}^{-2}$, поэтому

$$|\xi - \xi'| \ll \overline{\mu_l} \tilde{\Omega}, \quad (\text{П.20})$$

где $\overline{\mu_l}$ — среднее значение μ_l на интервале $[\xi_0; \xi]$.

ЛИТЕРАТУРА

1. C. W. Oseen, Trans. Faraday Soc. **29**, 883 (1933).
2. H. De Vries, Acta Crystallogr. **4**, 219 (1951).
3. Е. И. Кац, ЖЭТФ **59**, 1854 (1970).
4. D. W. Berreman and T. J. Scheffer, Phys. Rev. A **5**, 1397 (1971).
5. D. W. Berreman, J. Opt. Soc. Am. **62**, 502 (1972); **63**, 1374 (1973).
6. Sah Yuvaraj and K. A. Suresh, J. Opt. Soc. Am. A **11**, 740 (1994).
7. С. Чандрасекхар, *Жидкие кристаллы*, Мир, Москва (1980).
8. В. А. Беляков, *Дифракционная оптика периодических сред сложной структуры*, Наука, Москва (1988).

9. В. А. Беляков, С. А. Сонин, *Оптика холестерических жидких кристаллов*, Наука, Москва (1982).
10. С. Oldano, Phys. Rev. A **40**, 6014 (1989).
11. С. П. Палто, ЖЭТФ **119**, 638 (2001).
12. Р. Galatola, Phys. Rev. E **55**, 4338 (1997).
13. Р. Hubert, Р. Jagemalm, С. Oldano, and М. Rajteri, Phys. Rev. E **58**, 3264 (1998).
14. С. Oldano and S. Ponti, Phys. Rev. E **63**, 011703 (2000).
15. S. Ponti, С. Oldano, and М. Vecchi, Phys. Rev. E **64**, 021704 (2001).
16. М. А. Peterson, Phys. Rev. A **27**, 520 (1983).
17. N. A. Nicorovici, R. C. McPhedran, and R. Petit, Phys. Rev. E **49**, 4563 (1994).
18. Р. Galatola, Phys. Rev. E **49**, 4552 (1994).
19. А. Ю. Вальков, В. П. Романов, А. Н. Шалагинов, Акуст. ж. **37**, 636 (1991).
20. Т. С. Lubensky, Phys. Rev. A **6**, 452 (1972).
21. М. J. Stephen and J. P. Straley, Rev. Mod. Phys. **46**, 617 (1974).
22. Р. Л. Стратанович, ЖЭТФ **70**, 1290 (1976).
23. М. С. Вещунов, ЖЭТФ **76**, 1515 (1979).
24. М. С. Mauguin, Bull. Soc. Franc. Miner. Crist. **34**, 71 (1911).
25. J. W. Shelton and Y. R. Shen, Phys. Rev. Lett. **25**, 23 (1970); **26**, 538 (1971); Phys. Rev. A **5**, 1867 (1972).
26. В. В. Железняков, В. В. Кочаровский, Вл. В. Кочаровский, УФН **141**, 257, (1983).
27. V. S. Liberman and В. Ya. Zel'dovich, Phys. Rev. E **49**, 2389 (1994).
28. А. Yu. Savchenko and В. Ya. Zel'dovich, Phys. Rev. E **50**, 2287 (1994).
29. А. Ю. Вальков, Р. В. Гринин, В. П. Романов, Опт. и спектр. **83**, 239 (1997).
30. E. V. Aksenova, V. P. Romanov, and А. Yu. Val'kov, Phys. Rev. E **59**, 1184 (1999).
31. E. V. Aksenova, А. Yu. Val'kov, and V. P. Romanov, Mol. Cryst. Liq. Cryst. **359**, 351 (2001).
32. Е. В. Аксенова, А. Ю. Вальков, В. П. Романов, Опт. и спектр. **91**, 1030 (2001).
33. М. А. Анисимов, *Критические явления в жидкостях и жидких кристаллах*, Наука, Москва (1987).
34. П. Де Жен, *Физика жидких кристаллов*, Мир, Москва (1977).
35. Л. Д. Ландау, Е. М. Лифшиц, *Теория поля*, Наука, Москва (1988).
36. Л. Д. Ландау, Е. М. Лифшиц, *Статистическая физика*, ч. 1, Наука, Москва (1976).
37. Л. Д. Ландау, Е. М. Лифшиц, *Электродинамика сплошных сред*, Наука, Москва (1982).
38. М. Lax and D. F. Nelson, *Proc. of III Rochester Conference on Coherent and Quantum Optics*, Plenum, New York, 415 (1973); *Theory of Light Scattering in Condensed Media*, I Soviet-American Conference. Nauka, Moscow, Vol. 2 (1976), p. 452.
39. М. Борн, Э. Вольф, *Основы оптики*, Наука, Москва (1970).
40. М. Б. Виноградова, О. В. Руденко, А. П. Сухоруков, *Теория волн*, 1-е изд., Наука, Москва (1979).
41. D. W. Berreman and T. J. Scheffer, Phys. Rev. Lett. **25**, 577 (1970).
42. М. Lax and D. F. Nelson, Phys. Rev. B **4**, 3694 (1971).
43. В. А. Якубович, В. М. Стражинский, *Линейные дифференциальные уравнения с периодическими коэффициентами и их применения*, Наука, Москва (1987).
44. E. V. Aksenova, V. P. Romanov, and А. Yu. Val'kov *Proceedings of the International Seminar «Day on Diffraction-2001»*, Saint-Petersburg (2001), p. 7.
45. М. В. Перель, *Проблемы дифракции и распространения волн*, ЛГУ, Ленинград, вып. **23**, 58 (1990); М. В. Перель, Радиофизика **33**, 1208 (1990).